

Санкт-Петербургский политехнический университет Петра Великого
Институт компьютерных наук и технологий
Кафедра компьютерных систем и программных технологий



ДИССЕРТАЦИЯ
на соискание ученой степени
МАГИСТРА

Тема: **Исследование и разработка методов
выявления синтаксической близости
математических выражений в формате MathML**

Студент гр. 63501/2 М.А. Пономарев

Санкт-Петербургский политехнический университет Петра Великого
Институт компьютерных наук и технологий
Кафедра компьютерных систем и программных технологий

Диссертация допущена к защите
зав. кафедрой

_____ В.М. Ицыксон
«____» _____ 2016 г.

**ДИССЕРТАЦИЯ
на соискание ученой степени
МАГИСТРА**

Тема: Исследование и разработка методов
выявления синтаксической близости
математических выражений в формате MathML

Направление: 09.04.01 – Информатика и вычислительная техника
Магистерская программа: 09.04.01.14 – Проектирование
аппаратно-программных средств вычислительной техники

Выполнил студент гр. 63501/2 _____ М.А. Пономарев
Научный руководитель,
к. т. н., доц. _____ Е.В. Пушкин
Консультант по нормоконтролю,
ст. преподаватель _____ С.А. Нестеров

УТВЕРЖДАЮ
зав. кафедрой
_____ В.М. Ицыксон
«____» 2016 г.

ЗАДАНИЕ
НА МАГИСТЕРСКУЮ ДИССЕРТАЦИЮ
студенту Пономареву Михаилу Александровичу

1. Тема проекта (работы)
«Исследование и разработка методов выявления синтаксической близости математических выражений в формате MathML»
2. Срок сдачи студентом законченного проекта (работы)
3 июня 2016г.
3. Исходные данные к проекту (работе)
Нет
4. Содержание расчетно-пояснительной записи (перечень подлежащих разработке вопросов)
 - Введение
 - Исследование предметной области
 - Разработка алгоритма для поиска синтаксической схожести математических выражений в формате MathML
 - Разработка программного обеспечения на основе разработанного алгоритма для поиска синтаксически схожих математических выражений
 - Оценка эффективности разработанного алгоритма
 - Заключение
5. Перечень графического материала (с точным указанием обязательных чертежей)
Нет

6. Консультанты по проекту (с указанием относящихся к ним разделов проекта работы)

Нестеров С.А. — консультант по нормоконтролю

7. Дата выдачи задания

1 сентября 2015г.

Руководитель к.т.н., доц. Е.В. Пушкин _____

Задание принял к исполнению, М.А. Пономарев _____

РЕФЕРАТ

Отчет, 80 стр., 32 рис., 30 табл., 15 ист., 1 прил.

МАТНМЛ, СХОЖЕСТЬ МАТЕМАТИЧЕСКИХ ВЫРАЖЕНИЙ, СИНТАКСИЧЕСКАЯ СХОЖЕСТЬ, СТРУКТУРНАЯ СХОЖЕСТЬ, СХОЖЕСТЬ ПОДВЫРАЖЕНИЙ

Целью данной работы является исследование существующих решений и разработка новых алгоритмов по поиску синтаксической схожести между математическими выражениями, представленными в формате MathML. В настоящее время существует лишь один алгоритм, получивший широкое применение в области оценки систем по распознаванию рукописной математической нотации, который предоставляет возможность определить дистанцию редактирования, чтобы превратить одно выражение в другое, и не предоставляет никакой дополнительной информации о схожести двух выражений.

В первой главе содержатся общие сведения о способах определения схожести между упорядоченными ориентированными графами.

Во второй главе дается определение паттернам синтаксической схожести выражений в формате MathML и приводится модификация одного из исследованных алгоритмов для определения схожести между выражениями.

В третьей главе описан процесс разработки приложения, реализующего поиск схожести математических выражений на основе разработанного алгоритма.

В четвертой главе приведены общие сведения о полученных результатах, приведена оценка разработанного алгоритма и рекомендации к его применению.

ABSTRACT

Report, 80 pages, 32 figures, 30 tables, 15 references, 1 appendicies

MATHML, SYNTACTIC SIMILARITY, STRUCTURAL
SIMILARITY, SUBEXPRESSION SIMILARITY,

The aim of this work is to study existing solutions and to develop new algorithms for searching the syntactic commonality between the mathematical expressions presented in the MathML format. Nowadays there is only one widely used algorithm in the evaluation systems of handwritten mathematical notation recognition, which provides the possibility to define the edit distance to transform one expression into another and doesn't contribute any additional information about the commonality of two expressions.

The first chapter contains general information about the ways of the commonality determination between the ordered directed graphs.

The second chapter defines the syntactical commonality patterns of the expressions in MathML format and provides the modification of the investigated algorithm for determining commonality between the expressions.

The third chapter describes the process of an application development that implements the search of the mathematical expressions commonality on the basis of the developed algorithm.

The fourth chapter presents the results overview, the evaluation of developed algorithm and recommendations for use.

СОДЕРЖАНИЕ

ВВЕДЕНИЕ	9
СЛОВАРЬ ТЕРМИНОВ	11
1. ИССЛЕДОВАНИЕ ПРЕДМЕТНОЙ ОБЛАСТИ	13
1.1. Описание структуры математических выражений в формате MathML	13
1.1.1. Разметка Presentation Markup	13
1.1.2. Разметка Content Markup	16
1.2. Методы определения схожести упорядоченных деревьев	18
1.2.1. Метод, основанный на введении дистанции редактирования между деревьями	19
1.2.2. Метод, основанный на наложении одного дерева на другое	20
1.2.3. Метод, основанный на подсчете количества общих подпутей между деревьями	25
1.2.4. Метод, основанный на подсчете количества общих поддеревьев между деревьями	27
1.2.5. Сравнение исследованных методов	28
1.3. Текущие реализации систем по поиску схожих математических выражений на основе рассмотренных методов	29
1.3.1. Поисковая система с алгоритмом нахождения общих подпутей	30
1.3.2. EMERS	31
2. МОДИФИКАЦИЯ АЛГОРИТМА TREE OVERLAPPING ДЛЯ ПОИСКА СХОЖЕСТИ МЕЖДУ ВЫРАЖЕНИЯМИ В ФОРМАТЕ MATHML	33
2.1. Определение паттернов математической схожести	33
2.2. Модификация алгоритма	36
2.3. Применение алгоритма при вычислении структурной схожести	43
2.4. Применение алгоритма при вычислении схожести подвыражений	44

3. ОПИСАНИЕ ПРИЛОЖЕНИЯ, РЕАЛИЗУЮЩЕГО ПОИСК СИНТАКСИЧЕСКИ СХОЖИХ МАТЕМА- ТИЧЕСКИХ ВЫРАЖЕНИЙ НА ОСНОВЕ РАЗРАБО- ТАННОГО АЛГОРИТМА	51
3.1. Генерация MathML выражений и их обработка	53
3.2. Сущностные классы	53
3.2.1. Класс, отвечающий за хранение и работу с дре- вовидным представлениям выражения	53
3.2.2. Классы, отвечающие за составление таблиц ин- дексации деревьев выражений	55
3.2.3. Класс, реализующий поиск схожести по разра- ботанному алгоритму	56
3.2.4. Класс, хранящий информацию о схожести меж- ду выражениями	58
3.3. Визуальное представление результатов	58
4. ОЦЕНКА ЭФФЕКТИВНОСТИ АЛГОРИТМА	61
4.1. Составление корпусов для оценки эффективности алго- ритма	61
4.2. Оценка эффективности алгоритма при поиске струк- турной схожести	64
4.3. Оценка эффективности алгоритма при поиске схожести подвыражений	67
4.4. Анализ результатов оценки эффективности алгоритма	70
4.4.1. Анализ результатов по оценке алгоритма при поиске структурной схожести	70
4.4.2. Анализ результатов по оценке алгоритма при поиске схожести подвыражений	73
4.5. Общие выводы относительно полученных результатов и рекомендации по применению алгоритма	74
ЗАКЛЮЧЕНИЕ	77
СПИСОК ИСПОЛЬЗОВАННЫХ ИСТОЧНИКОВ	79
ПРИЛОЖЕНИЕ А. ТЕКСТ ПРОГРАММЫ	81

ВВЕДЕНИЕ

В наши дни поисковые системы в интернете являются неотъемлемыми и необходимыми инструментами. К сожалению, поиск математической нотации до сих пор сопряжен с рядом трудностей. Они состоят и в нетривиальной математической разметке математических выражений и формул, затрудняющей формулировку запроса пользователем, и в отсутствии унифицированной цифровой математической библиотеки. До сих пор нет общепринятого соглашения о том, какой формат хранения математической нотации использовать. Из-за этого многие поисковые машины сталкиваются с проблемой конвертации различных форматов в один.

Один из наиболее распространенных языков для представления математических выражений в интернете является MathML, рекомендованный математической группой W3C. Многие поисковые системы используют этот язык для хранения математической нотации. В основе практических всех таких систем лежит поиск по точному совпадению между выражениями или их частями, и не предусматривается или слабо развит поиск схожих математических выражений. Из всех рассмотренных алгоритмов поиска схожих математических выражений [1], [2], каждый имеет ряд существенных недостатков в виде плохой точности поиска по большой базе выражений или в виде нацеленности на решение узкого круга задач.

Синтаксическая схожесть математических выражений до сих пор определена нечетко — нет общепринятых паттернов, которые определяли бы схожесть двух выражений, полагаясь на те или иные критерии. В то же время разработка поисковой системы, которая реализовала бы возможность подобного рода поиска, была бы очень актуальна при сортировке однотипных заданий в базе заданий единых государственных экзаменов ОГЭ и ЕГЭ или поиске похожих заданий из сторонних учебных ресурсов с целью того, чтобы учащийся или абитуриент мог систематичнее и тщательнее подготовиться к заданиям определенного вида. Кроме этого, система могла бы найти полезное применение при формировании электронных методических пособий или поиску выражений по шаблону, когда пользователь не знает точного выражения, но помнит его форму, синтаксическую структуру.

Целью данной работы является разработка алгоритма определения синтаксической схожести выражений в формате MathML и его

реализация в виде программного комплекса для последующей оценки его эффективности.

СЛОВАРЬ ТЕРМИНОВ

XML (от англ. eXtensible Markup Language) — расширяемый язык разметки документов, используемых в сети интернет.

MathML (от англ. Mathematical Markup Language) — язык разметки на основе XML для представления математических символов и формул в документах сети интернет.

EMERS (от англ. a tree matching-based performance evaluation metric for mathematical expression recognition) — метрика определения схожести распознанного математического выражения с действительным.

Нотация — система условных обозначений, принятая в какой-либо области знаний или деятельности. Включает множество символов, используемых для представления понятий и их взаимоотношений, составляющее алфавит нотации, а также правила их применения.

Нормализация математического выражения — процесс удаления или замены некоторой неважной информации в древовидном представлении математического выражения, такой как, к примеру, название переменных или численных значений.

Терминальный узел — узел, не имеющий дочерних элементов.

1. ИССЛЕДОВАНИЕ ПРЕДМЕТНОЙ ОБЛАСТИ

1.1. Описание структуры математических выражений в формате MathML

MathML (Mathematical Markup Language) — это язык разметки на основе XML для представления математических символов и формул. Логическая структура документа схожа с логической структурой документа XML: он имеет обязательный корневой элемент, включающий в себя вложенные в него один или несколько элементов. Граница элемента определяется знаками < и >. Элемент может содержать тег, определяющий имя элемента, а также один или несколько атрибутов и данные элемента.

Существует два вида разметки MathML — Presentation Markup и Content Markup. Каждый имеет свой набор возможных элементов и разный принцип их вложения друг в друга. Для того, чтобы лучше понять, какой из видов разметки использовать, рассмотрим их подробнее в следующих разделах на основе документации [3] по MathML.

1.1.1. Разметка Presentation Markup

Разметка Presentation Markup предназначена, чтобы описать визуальное представление выражения без учета его семантики. Этот вид разметки имеет небольшое фиксированное количество тегов, каждый из которых, в большинстве случаев, отвечает за конкретный структурный элемент в выражении, к примеру, операции деления или арифметического квадратного корня. Каждый элемент имеет фиксированное или нет количество обязательных элементов, которые он должен содержать, к примеру, элемент, отвечающий за представление арифметического квадратного корня, должен содержать в себе элемент, отвечающий за выражение, которое будет находиться под корнем. Элементы условно можно разделить на 4 группы, отвечающих за: лексемы (табл. 1.1), общую разметку выражений, визуально влияющих на синтаксическую структуру выражений (табл. 1.2) и нет (табл. 1.3), представление выражений с индексами (табл. 1.4), представление выражений в виде таблиц и матриц (табл. 1.5).

Таблица 1.1. Элементы для отображения лексем

Элемент	Описание
mi	Переменная
mn	Число
mo	Оператор, специальный символ, разделитель
mtext	Текст
mspace	Пробел
mglyph	Отображение символов без Unicode

Таблица 1.2. Элементы для общей разметки выражений, визуально влияющие на синтаксическую структуру выражения

Элемент	Описание	Кол-во аргументов
mrow	Группир. подвыражений между собой	0+
mfrac	Деление одного выражение на другое	2
msqrt	Извлечение из выражения квадратичного корня	1
mroot	Извлечение из выражения корня из n-ой степени	2
mfenced	При перечислении множества или массива, возможность добавления пользовательских открывающих/закрывающих скобок и разделителя	0+

Основное назначение атрибутов в Presentation Markup — задания параметров отображения элементов в выражении, таких как цвет, размер и задний фон. В силу того, что они не влияют на синтаксическую структуру выражения, рассматриваться подробнее они не будут.

Отдельно стоит отметить, что для Presentation Markup не предусмотрены отдельные элементы, отвечающие за отображение функций

Таблица 1.3. Элементы для общей разметки выражений, визуально не влияющие на синтаксическую структуру выражения

Элемент	Описание	Кол-во аргументов
mstyle	Отвечает за стиль отображаемого выражения	1*
merror	Вывод сообщений об ошибке в мат. выражении	1*
mpadded	Отступы между элементами в выражении	1*
mphantom	Скрытие элементов при отображении, но занимающие место	1*
menclose	Помещает выражение в рамки	1*
maction	Реакция на нажатие отображаемого элемента	1+

Таблица 1.4. Элементы для отображения выражений с индексами

Элемент	Описание	Кол-во аргументов
msub	Выражение с подстрочным индексом	2
msup	Выражение с надстрочным индексом	2
msubsup	Выражение с подстрочным и надстрочным индексом	3
munder	Нижняя фигурная скобка под выражением	2
mover	Верхняя фигурная скобка над выражением	2
munderover	Интегральная кривая с нижним и верхним пределом	3
mmultiscripts	Позволяет создавать 4 индекса в виде матрицы вокруг выражения	1+

Таблица 1.5. Элементы для представления выражений в виде таблиц и матриц

Элемент	Описание	Кол-во аргументов
mtable	Таблица из n-го количества рядов	0+
mlabeledtr	Ряд с заглавным элементом	1+
mtr	Ряд в матрице	0+
mtd	Элемент в ряду	1*

как, к примеру, \sin , \cos , \tg , \ctg , \ln и т.п.

1.1.2. Разметка Content Markup

Разметка Presentation Markup описывает математическое выражение без учёта его семантики. Разметка Content Markup разработана для того, чтобы помимо описания структуры выражения, иметь возможность описать его семантику. Во многих математических нотациях отображение одной и той же формулы может трактоваться по разному, и без дополнительной информации невозможно принять решение, как именно трактовать конкретное отображение примера. Трудности возникают из-за того, что разным представлениям математической нотации может соответствовать одна и та же семантика и наоборот. К примеру, конструкция « M перемножается с g » может быть в одном контексте представлена как « $M \times g$ », а в другом « Mg ». В последнем случае, отрывая от контекста этот пример, будет невозможно принять решение, является ли это, к примеру, именем химического элемента или изначально задуманной конструкцией.

Чтобы решить эту проблему, с помощью разметки Content Markup устанавливается связь между математической структурой выражения или переменной и их семантикой. Каждой математической структуре соответствует базовая семантика, которая может быть изменена. К примеру, чтобы изменить семантику переменной v и рассматривать ее как векторную величину, необходимо добавить атрибут «`type=vector`» к элементу, отвечающему за отображение этой самой переменной.

Как и в разметке представления, в Content Markup в основе ле-

жит дерево выражения, точно также терминальные узлы представляются как базовые математические объекты, такие как числа, переменные или арифметические операции. Внутренние же элементы представляют собой более сложный объект, чем в Presentation Markup. В Content Markup гораздо больше элементов, которые условно можно разделить на следующие группы:

- **константы и символы:** cn, ci, csymbol;
- **конструкции выражений** — определяют сущность выражения или его части, будет ли оно, скажем, интервальным значением или выражением–условием: apply, interval, inverse, sep, condition и др.;
- **арифметика, алгебра, логические операции:** factorial, divide, max, min, minus, plus, power, rem, times, root, and, or, xor, not и др.;
- **отношения между выражениями:** eq, neq, geq, leg, euivalent, approx, factorof;
- **интегральные и другие вычисления:** int, diff, partialdiff, lowlimit, uplimit, bvar, degree, divergencе, grad;
- **наборы:** set, list, union, intersect, in, notin, subset, prsubset и др.;
- **последовательности:** sequences and series: sum, product, limit;
- **классические функции:** exp, ln, log, sin, cos, tan;
- **элементы статистики:** mean, sdev, variance, median, mode, moment;
- **линейная алгебра:** vector, matrix, matrixrow, determinant, transpose, selector, vectorproduct;
- **семантическая взаимосвязь между элементами:** annotation, semantics, annotation-xml;
- **константы и символьные переменные:** constant and symbol elements: integers, reals, rationals, naturalnumbers, true, false, infinity и др.;

По сравнению с Presentation Markup, в случае с Content Markup будет сложнее предсказать, как в конечном итоге будет выглядеть математическое выражение. Кроме этого, некоторые операции, несущие разный семантический смысл при отображении могут выводиться одинаково или очень похоже.

1.2. Методы определения схожести упорядоченных деревьев

Математическое выражение, описываемое с помощью MathML, представляется в виде ориентированного упорядоченного дерева с неограниченным количеством дочерних узлов. Для того, чтобы в дальнейшем дать определение схожести двум математическим выражениям в формате MathML, в данном разделе рассматриваются методы определения схожести ориентированных упорядоченных деревьев.

Для большей наглядности алгоритмов определения схожести тем или иным методом все они будут рассматриваться на примере деревьев T_0 , T_1 и T_2 (рис.1.1), для которых будет подсчитываться схожесть между деревом T_0 и деревьями T_1 и T_2 .

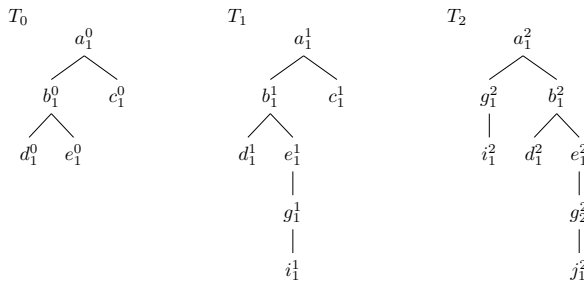


Рисунок 1.1. Упорядоченные ориентированные деревья T_0 , T_1 и T_2

Верхние индексы у узлов деревьев на рис. 1.1 определяют дерево, в котором они находятся — так, к примеру, у дерева T_0 все верхние индексы имеют значение равным 0. Нижние индексы определяют, какими по счету встречаются одинаковые узлы в своем дереве — к примеру, у дерева T_2 есть два одинаковых узла g , первый из которых будет иметь нижний индекс равным 1, а второй равным 2. При исследовании некоторых методов индексы будут опускаться для большей

наглядности.

1.2.1. Метод, основанный на введении дистанции редактирования между деревьями

В работе [4] схожесть двух деревьев определяется дистанцией между двумя упорядоченными деревьями (Edit Tree Distance). Под дистанцией понимается минимальное количество операций редактирования, таких как вставка, удаление и изменение узлов, чтобы преобразовать одно дерево в другое.

Пусть S — последовательность $\{s_1, s_2, \dots, s_k\}$ операций редактирования для преобразования одного дерева в другое.

Пусть γ — метрика дистанции между двумя деревьями, характеризующаяся неотрицательным весом для операции редактирования узла $a \rightarrow b$. Веса для разных узлов могут быть различными в зависимости от их значимости или расположения относительно корня дерева. На метрику вводятся следующие ограничения:

- $\gamma(a \rightarrow b) \geq 0$
- $\gamma(a \rightarrow b) = \gamma(b \rightarrow a)$

Применимая метрику дистанции к последовательности S получаем следующую формулу: $\gamma(S) = \sum_{i=1}^{|S|} \gamma(s_i)$. Тогда дистанция между двумя выражениями:

$$\delta(T_1, T_2) = \min\{\gamma(S)\} \quad (1.1)$$

Применимомо к рассматриваемым деревьям T_0 , T_1 и T_2 , преобразуем запрашиваемое дерево T_0 к дереву T_1 (рис. 1.2) и к дереву T_2 (рис. 1.3).

Как видно из рис. 1.2 и рис. 1.3, для того, чтобы преобразовать дерево T_0 к дереву T_1 , требуется последовательность из двух операций добавления, а для того чтобы преобразовать дерево T_0 к дереву T_2 — последовательность из четырех операций: одной операции удаления, и трех операций добавления узлов.

Применимая формулу 1.1 с весами всех узлов равными 1, получаем схожесть между запрашиваемым деревом T_0 и деревьями T_1 и T_2 , равными $STED(T_0, T_1) = 2$ и $STED(T_0, T_2) = 4$ соответственно.

Различные алгоритмы, в основе которых лежит данный метод, по-разному находят последовательность S_i , чтобы преобразовать одно

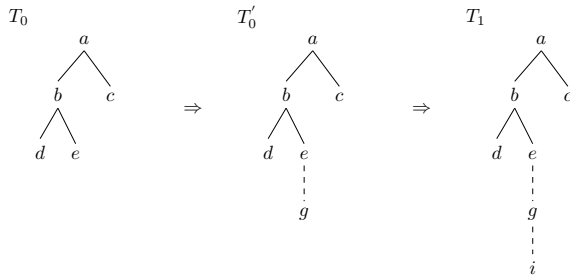


Рисунок 1.2. Приведение дерева T_0 к дереву T_1 с помощью операций редактирования

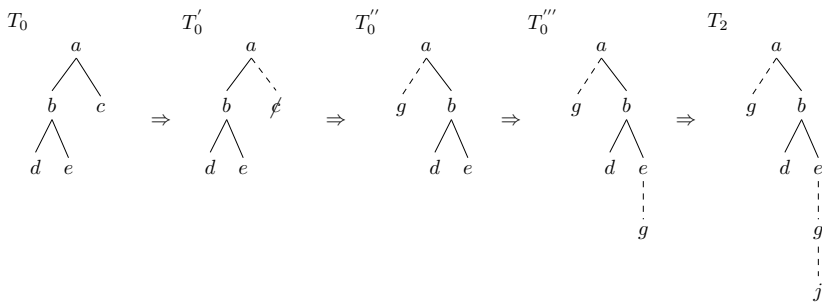


Рисунок 1.3. Приведение дерева T_0 к дереву T_2 с помощью операций редактирования

дерево к другому. В работах [4], [5], [6], [7] приведены четыре разных алгоритма по нахождению дистанции между двумя упорядоченными графами. При реализации последнего (RTED) учтены все слабые стороны ранних алгоритмов, и его можно считать, на момент написания диссертации, самым оптимальным. Алгоритмические сложности данных алгоритмов представлены в табл. 1.6.

1.2.2. Метод, основанный на наложении одного дерева на другое

Схожесть двух деревьев можно определить количеством общих узлов при наложении одного дерева на другое. В работе [8] приводится алгоритм на основе данного метода. Схожесть по данному алгорит-

Таблица 1.6. Сравнение алгоритмов, реализующих метод tree edit distance

Название алгоритма	Средняя скорость выполнения	Объем занимаемой памяти	Особенности
TED [4]	$O(n^4)$	$O(n^2)$	Эффективен для сбалансированных деревьев
ODTED [6]	$O(n^3)$	$O(n^2)$	Часто скорость выполнения ухудшается на сбалансированных деревьях
RTED [7]	$O(n^3)$	$O(n^2)$	Хорошо себя проявляет в любых ситуациях

му определяется количеством общих узлов с одинаковыми правилами перехода к последующим узлам при таком наложении одного дерева на другое, когда это количество будет наибольшим (Tree Overlapping). Правилом перехода является правило, по которому один узел переходит в какой-то другой или несколько других. Под наложением одного дерева на другое данным алгоритмом подразумевается наложение узла первого дерева на такой же узел во втором дереве. Последующие узлы деревьев при совпадении также накладываются друг на друга. Пример наложения T_0 на T_1 и T_0 на T_2 из рассматриваемых деревьев в схожих узлах продемонстрирован на рис. 1.4 и на рис. 1.5 соответственно.

В рассматриваемых примерах сразу были наложены «самые удачные» и единственные узлы, которые приводят к наибольшему количеству общих правил перехода между деревьями. В целом, таких вариантов наложений может быть много, в зависимости от того, какие узлы выбираются. В случае с наложением узла a_1^0 дерева T_0 на узел a_1^1 дерева T_1 — $C_{TO}(a_1^0, a_1^1) = 2$, а при наложении узла b_1^0 дерева T_0 на узел b_1^2 дерева T_2 схожесть будет равна $C_{TO}(b_1^0, b_1^2) = 1$.

Схожесть деревьев по этой метрике определяется следующей формулой:

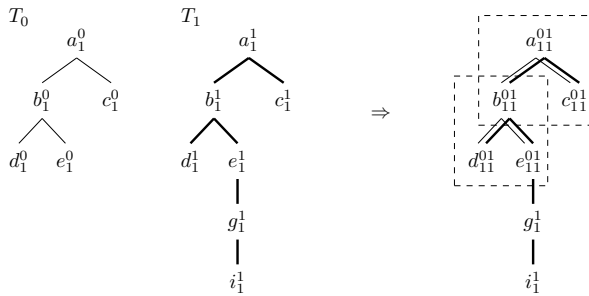


Рисунок 1.4. Пример наложения дерева T_0 и T_1 в узлах a_1^0 и a_1^1

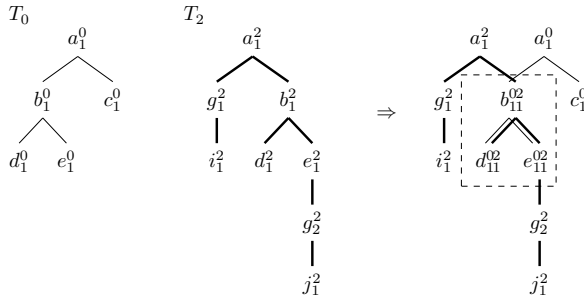


Рисунок 1.5. Пример наложения дерева T_0 и T_2 в узлах b_1^0 и b_1^1

$$S_{TO}(T_1, T_2) = \max_{n_1 \in NT(T_1), n_2 \in NT(T_2)} C_{TO}(n_1, n_2) \quad (1.2)$$

В формуле 1.2 $NT(T)$ — набор нетерминальных узлов в дереве T .

Схожесть между деревом T_0 и T_1 будет равна $S_{TO}(T_0, T_1) = 2$, а между деревом T_0 и T_2 равна $S_{TO}(T_0, T_2) = 1$.

При наложении узлов друг на друга между деревьями при поиске схожести этим методом они должны совпадать в названии и в правилах перехода к последующим узлам. Алгоритм по нахождению максимально схожего дерева дереву T_0 из корпуса деревьев можно ускорить, не вычисляя поочередно схожесть каждого дерева из набора с запрашиваемым деревом. Для этого необходимо составить таблицу индексов $I[p]$ для корпуса деревьев, по которым будем искать схожесть с запрашиваемым деревом. Приведем пример и составим такую

таблицу для корпуса деревьев T_1 и T_2 (рис. 1.1) — деревьях, рассматриваемых в качестве примера в этом разделе:

Таблица 1.7. Таблица индексов для корпуса деревьев T_1 и T_2

p	$I[p]$
$a \rightarrow b c$	$\{a_1^1\}$
$b \rightarrow d e$	$\{b_1^1, b_1^2\}$
$e \rightarrow g$	$\{e_1^1\}$
$g \rightarrow i$	$\{g_1^1, g_1^2\}$
$a \rightarrow g b$	$\{a_1^2\}$
$g \rightarrow j$	$\{g_2^2\}$

В левом столбце табл. 1.7 содержатся правила перехода от одного узла к другому(им). В правом — список узлов, содержащихся в деревьях корпуса с представленным в левом столбце правилом перехода. Из табл. 1.7 видно, что правилу перехода $b \rightarrow d e$ соответствуют сразу два узла из двух разных деревьев. Помимо этого, при рассмотрении других случаев, может быть такая ситуация, когда одному и тому же правилу перехода могут соответствовать сразу несколько узлов из одного и того же дерева. Составим такую же таблицу для запрашиваемого дерева T_0 :

Таблица 1.8. Таблица индексов для дерева T_0

p	$I[p]$
$a \rightarrow b c$	$\{a_1^0\}$
$b \rightarrow d e$	$\{b_1^0\}$

После составления таблиц индексов $I[p]$, необходимо составить таблицу Тор — Левый столбец в таблице будет указывать на совпавшие узлы между запрашиваемым деревом и деревьями корпуса, а правый — на совпавшие вышележащие узлы относительно узлов в левом столбике, при проходе до которых все промежуточные узлы в деревьях с индексом этих узлов тоже совпадают. Пример данной таблицы для рассматриваемых в качестве примера деревьев (рис. 1.1):

Таблица 1.9. Таблица Тор между узлами дерева T_0 и узлами деревьев корпуса T_1 и T_2

(n, m)	$top(n, m)$
$\{a_1^0, a_1^1\}$	$\{a_1^0, a_1^1\}$
$\{b_1^0, b_1^1\}$	$\{a_1^0, a_1^1\}$
$\{b_1^0, b_1^2\}$	$\{a_1^0, a_1^2\}$

Далее, необходимо подсчитать $C[n, m]$, который будет показывать количество наложенных друг на друга узлов начиная с узлов n и m с использованием таблиц индексов (табл. 1.7 и табл. 1.8) и таблицы top (табл. 1.9) для деревьев корпуса.

Для этого применяется следующий алгоритм:

1. Находим по таблице индексов из столбца $I[p]$ одинаковые узлы с узлами запрашиваемого дерева T_0 , положим пару таких узлов будет (n, m) ;
2. ищем по таблице top вышеперечисленные узлы, по пути к которым все промежуточные узлы совпадают, положим эти узлы (n', m') ;
3. увеличиваем значение $C(n', m')$ на 1.

После применения данного алгоритма получаем следующие результаты: $C[a_1^0, a_1^1] = 2$, $C[a_1^0, a_1^2] = 1$

Преобразуем формулу 1.2 для ее применения для оценки схожести между запрашиваемым деревом T_0 и деревом корпуса:

$$S_{TO}(T_0, T) = \max_{n \in NT(T_0), m \in NT(T)} C[top(n, m)] \quad (1.3)$$

Применяя эту формулу 1.3 получаем схожесть между запрашиваемым деревом T_0 и деревьями T_1 и T_2 равными $S_{TO}(T_0, T_1) = 2$ и $S_{TO}(T_0, T_2) = 1$ соответственно.

При таком подходе объем занимаемой памяти при предварительной индексации корпусов деревьев составляет алгоритмическую сложность порядка $O(PR)$, где PR – количество правил перехода в таблице индексов.

1.2.3. Метод, основанный на подсчете количества общих подпутей между деревьями

В работе [8] схожесть двух деревьев определяется количеством общих подпутей между ними (Subpath Set). Подпутем является путь от корневого узла или одного из узлов в дереве до терминального или до другого узла по пути к нему.

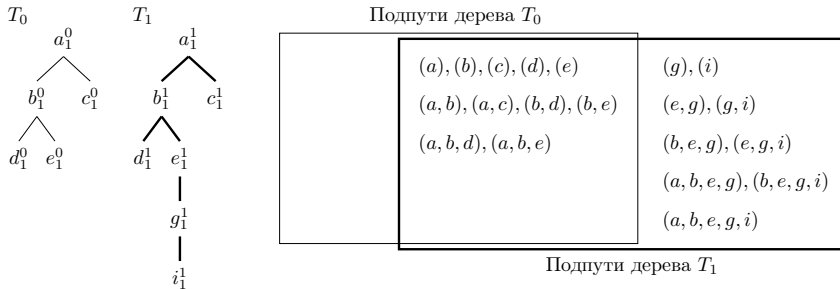


Рисунок 1.6. Подпути деревьев T_0 и T_1

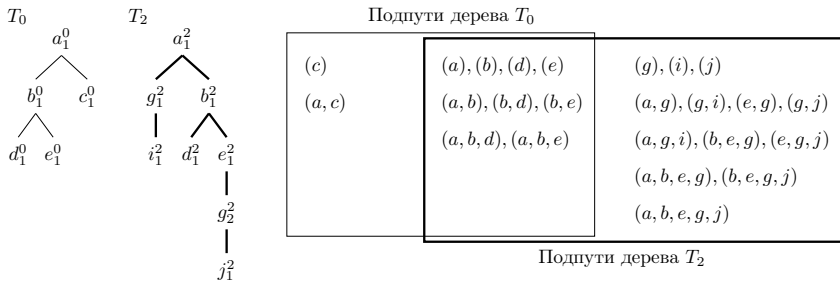


Рисунок 1.7. Подпути деревьев T_0 и T_2

На рис. 1.6 и рис. 1.7 можно увидеть набор общих подпутей между рассматриваемыми в качестве примера (рис. 1.1) деревом T_0 и T_1 и между деревом T_0 и деревьями T_1 и T_2 . Согласно этому методу, схожесть между деревом T_0 и деревьями T_1 и T_2 будет равна $S_{ss}(T_0, T_1) = 11$ и $S_{ss}(T_0, T_2) = 9$ соответственно.

Алгоритм по нахождению максимально схожего дерева дереву T_0 из набора деревьев TS можно ускорить, не вычисляя поочередно

схожесть каждого дерева из набора с запрашиваемым деревом. Для этого необходимо составить таблицу индексов $I[p]$ для корпуса деревьев, по которым будем искать схожесть с запрашиваемым деревом. Приведем пример и составим такую таблицу для корпуса деревьев T_1 и T_2 (рис. 1.1):

Таблица 1.10. Таблица индексов

p	$I[p]$	p	$I[p]$
a	$\{1, 2\}$	$e \rightarrow g$	$\{1, 2\}$
b	$\{1, 2\}$	$g \rightarrow i$	$\{1, 2\}$
c	$\{1\}$	$a \rightarrow g$	$\{2\}$
d	$\{1, 2\}$	$g \rightarrow j$	$\{2\}$
e	$\{1, 2\}$	$a \rightarrow b \rightarrow d$	$\{1, 2\}$
g	$\{1, 2\}$	$a \rightarrow b \rightarrow e$	$\{1, 2\}$
i	$\{1, 2\}$	$b \rightarrow e \rightarrow g$	$\{1, 2\}$
j	$\{2\}$	$e \rightarrow g \rightarrow i$	$\{1\}$
$a \rightarrow b$	$\{1, 2\}$	$a \rightarrow g \rightarrow i$	$\{2\}$
$a \rightarrow c$	$\{1\}$	$e \rightarrow g \rightarrow j$	$\{2\}$
$b \rightarrow d$	$\{1, 2\}$	$a \rightarrow b \rightarrow e \rightarrow g$	$\{1, 2\}$
$b \rightarrow e$	$\{1, 2\}$	$b \rightarrow e \rightarrow g \rightarrow i$	$\{1\}$
		$b \rightarrow e \rightarrow g \rightarrow j$	$\{2\}$

В столбце p содержаться все подпути деревьев корпуса, в столбце $I[p]$ указывается список деревьев из корпуса, в которых есть данный подпуть.

Для каждого из подпутей запрашиваемого дерева, проходимся по столбцу p в поиске идентичного подпути. При совпадении, из правого столбца извлекаем информацию, в каком из деревьев из корпуса содержится данный подпуть.

При таком подходе объем занимаемой памяти при предварительной индексации корпусов деревьев составляет алгоритмическую сложность порядка $O(L*D^2)$, где L и D – максимальное количество листьев и максимальная глубина среди деревьев корпуса соответственно.

1.2.4. Метод, основанный на подсчете количества общих поддеревьев между деревьями

Впервые в работе [9] схожесть двух деревьев определяется количеством общих поддеревьев между ними (Tree Kernel). Понятие под дерева было введено в книге [10] и определяется следующим образом:

- Поддерево t состоит более чем из одного узла дерева T ;
- узлы поддерева t должны содержать то же самое количество дочерних узлов что и узлы дерева T .

Поддеревья для рассматриваемых деревьев (рис. 1.1) T_0 и T_1 продемонстрированы на рис. 1.8. В силу большого количества поддеревьев дерева T_2 , поддеревья между T_0 и T_2 продемонстрированы не будут.

Из рис. 1.8 можно сделать вывод, что дерево T_0 содержит 3 общих поддерева с деревом T_1 . Количество общих поддеревьев между деревом T_0 и деревом T_2 равно 2. В этом случае схожесть между деревьями определяется как $S_{TK}(T_0, T_1) = 3$ и $S_{TK}(T_0, T_2) = 2$.

Для метода нахождения общих поддеревьев было разработано несколько алгоритмов. Самым большим недостатком первого из них (TK) – быстрое возрастание занимаемой памяти с количеством узлов в дереве из-за генерации огромного количества поддеревьев. Алгоритмы, разработанные позднее, позволили находить общие поддеревья, расходяя разумное количество памяти и не генерируя для каждого дерева все поддеревья. Одним из самых новых и эффективных можно считать (FTK). В табл. 1.11 приведена эффективность алгоритмов TK и FTK.

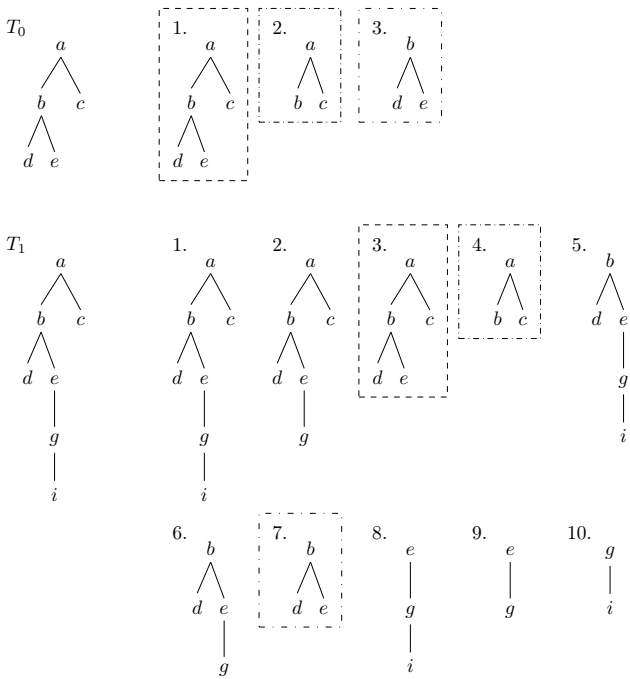


Рисунок 1.8. Поддеревья деревьев T_0 и T_1

Таблица 1.11. Сравнение алгоритмов FK и FTK, реализующий метод нахождения общих поддеревьев

Название алгоритма	Средняя скорость выполнения	Объем занимаемой памяти
TK	-	$O(2^n)$
FTK	$O(N_{T_1} + N_{T_2})$	$O(N_{T_1} * N_{T_2})$

1.2.5. Сравнение исследованных методов

Для каждого из исследованных методов определения схожести была подсчитана схожесть между деревом T_0 и деревьями корпуса, состоящего из двух деревьев — T_1 и T_2 , рассматриваемыми в качестве

примера (рис. 1.1). Ниже приведена табл. 1.12, обобщающая полученные результаты.

Таблица 1.12. Сравнительная таблица схожестей между деревом T_0 и корпусом из деревьев T_1 и T_2 разными методами

Метод	Схожесть	Что определяет число схожести
Введение дистанции редактирования	$STED(T_0, T_1) = 2$ $STED(T_0, T_2) = 4$	кол-во операций, чтобы превратить одно дерево в другое
Наложение одного дерева на другое	$STO(T_0, T_1) = 2$ $STO(T_0, T_2) = 1$	кол-во узлов с одинаковыми правилами перехода при «наилучшем» наложении деревьев
Подсчет общих подпутей между деревьями	$SSS(T_0, T_1) = 11$ $SSS(T_0, T_2) = 9$	кол-во общих подпутей
Подсчет общих поддеревьев между деревьями	$STK(T_0, T_1) = 3$ $STK(T_0, T_2) = 2$	кол-во общих поддеревьев

Из табл. 1.12 можно сделать вывод о том, что каждый результат не нормирован, и их сравнение между собой вызывает определенные трудности. В дальнейшем необходимо вводить какую-либо метрическую оценку схожести на основе одного из представленных методов.

1.3. Текущие реализации систем по поиску схожих математических выражений на основе рассмотренных методов

Исследованные алгоритмы и методы, лежащие в их основе, по определению схожести упорядоченных деревьев нашли широкое при-

менение в области машинного обучения при анализе естественных языков. В ходе исследовательской части было найдено две поисковые системы, которые позволяют сравнивать MathML выражения между собой. Алгоритмы поиска, заложенные в их основу, применяют метод поиска общих подпутей и метод введения дистанции между двумя деревьями с помощью операций редактирования.

1.3.1. Поисковая система с алгоритмом нахождения общих подпутей

В работе [1] на основе алгоритма поиска схожих между деревьями подпутей, рассмотренного ранее в параграфе 1.2.3, была разработана система по поиску схожих выражений по заданному. Поскольку результатом применения алгоритма служит количество общих подпутей между деревом T_1 и T_2 , то необходимо было ввести какую-либо метрическую оценку схожести. Авторы применяют коэффициент Жаккара:

$$K_J = \frac{S(T_1) \cap S(T_2)}{S(T_1) \cup S(T_2)} \quad (1.4)$$

В формуле 1.4 $S(T_i)$ — набор подпутей дерева T_i . В качестве корпуса авторы используют более 150 тысяч формул, собранных с сайта Wolfram [11], написанных в Presentation Markup, и с использованием Content Markup в качестве аннотаций.

В их работе представлены оценки по результивности поиска методом поиска общих подпутей. Результаты можно увидеть на рис. 1.9. Столбцы P и C содержат числа, указывающие, каким по счету по схожести было найдено ожидаемое выражение. В случае, если оно не было найдено в первых ста найденных выражениях, значение помечалось знаком x .

Авторы разработанной системы отметили, что при использовании данного алгоритма с выражениями, представленными в Presentation Markup, результаты были неудовлетворительными — одна из причин может быть в том, что функции и операции, в Presentation Markup обозначаются одним и тем же символом «*to*», и при подсчете многих общих подпутей, содержащих данный символ, не учитывается эта особенность.

Запрос	Ожидаемый результат	P	C
$\sin(a+b) = \sin(a)\cos(b) + \cos(a)\sin(b)$	$\sin(a-b) = \sin(a)\cos(b) - \cos(a)\sin(b)$	x	6
$\int \sin z dz = -\cos z dz$	$\int \sin(az) dz = -\frac{\cos z}{a}$	x	39
$\int ze^{az} dz = \frac{e^{az}(-1+az)}{a^2}$	$\int z^3 e^{az} dz = \frac{e^{az}(-6+6az+3a^2z^2+a^3z^3)}{a^4}$	x	17
$\int (e^{cz})^v dz = \frac{(e^{cz})^v}{cv}$	$\int \sqrt{e^{cz}} dz = \frac{2\sqrt{e^z}}{c}$	x	5
$\text{ArcSin}(z) = \frac{3\pi}{4} - \frac{1}{2} \text{Arctan}\left(\frac{-1-2z^2}{2z\sqrt{1-z^2}}\right)$	$\text{ArcCos}(z) = -\frac{\pi}{4} + \frac{1}{2} \text{Arctan}\left(\frac{-1-2z^2}{2z\sqrt{1-z^2}}\right)$	33	79

Рисунок 1.9. Результат поиска схожих математических выражений алгоритмом subpath для выражений в разметке Presentation Markup и Content Markup

1.3.2. EMERS

В работе [2] на основе метода введения дистанции между деревьями, рассмотренного ранее в параграфе 1.2.1, была разработана система EMERS по оценки качества распознавания математических выражений. Под распознанным математическим выражением понимается выражение в формате MathML, полученное в ходе распознавания выражения с изображения.

EMERS был разработан с учетом следующей особенности при распознавании математических нотаций — распознавание символов может иметь разную степень сложности.

Рассмотрим два математических фрагмента: a^i и $e^{c^i_k}$. Оба из них содержат надстрочный индекс. Предположим, в результате распознавания этих фрагментов в первом случае система распознала один из них ai , а во втором — $e^{c^i_k}$. Оба из них содержат одну ошибку, однако, не совсем корректно считать их равнозначными: можно сказать, что ошибка в первом случае более значима, чем во втором.

Для того, чтобы ввести разный уровень значимости в работе [12], были определены горизонтальные уровни для каждого символа. Базовый символ имеет значение горизонтального уровня равное 0. В зависимости от того, насколько высоко находится элемент относительно базового, ему присваивается значение горизонтального уровня равным $\{+1 + 2 \cdots + n\}$ соответственно. Аналогично $\{-1 - 2 \cdots - m\}$ для низлежащих элементов.

Было предложено давать штраф за ошибку в символе со значением горизонтального уровня k равное:

$$\text{penalty} = \frac{1}{|k| + 1} \quad (1.5)$$

К примеру, для выражения e^{c^i} значения горизонтального уровня для символов c , s и i будут равны 0, 1 и 2. В случае допущения ошибки в символе c значение штрафа будет $\frac{1}{|1|+1} = 0.5$, а при ошибке в i штраф будет меньше и равен $-\frac{1}{|2|+1} = 0.33$.

EMERS подсчитывает штраф за неправильно распознанный символ аналогичным образом — чем выше или ниже горизонтальный уровень символа, тем ниже он будет, считая от корня дерева, в древовидном представлении выражения. EMERS за основу берет формулу штрафа 1.5. Ввиду того, что любой операции редактирования на основе алгоритма 1.2.1 можно назначить произвольный вес, он назначается следующим образом:

$$\gamma(a \rightarrow b) = \begin{cases} 0, & \text{если } a = b; \\ \frac{1}{L+1}, & \text{если } a \neq b. \end{cases} \quad (1.6)$$

, где $(a \rightarrow b)$ — операция изменения узла в дереве (операция замены, удаления, или вставки)

EMERS находит дистанцию между распознанным выражением и его правильным представлением по формуле 1.1, рассмотренной в параграфе 1.2.1. Ниже приведен пример сравнения двух выражений с помощью EMERS(рис. 1.10).

```

Actual expression:  $e^{c^l}$ 
Recognized expression:  $e^{c^k}$ 
Edit Cost is: 1.83333

The Modify operations are :
Mod- <msubsup> to <msubsup> on 6 and 14.
Mod- i to k on 9.
Mod- k to i on 11.

The Delete operations are :
Del- <mstyle> on 10 and 12.
Del- <msubsup> on 8 and 13.

```

Рисунок 1.10. Пример сравнения выражений с помощью EMERS

2. МОДИФИКАЦИЯ АЛГОРИТМА TREE OVERLAPPING ДЛЯ ПОИСКА СХОЖЕСТИ МЕЖДУ ВЫРАЖЕНИЯМИ В ФОРМАТЕ MATHML

2.1. Определение паттернов математической схожести

После рассмотрения видов разметки MathML в подразделе 1.1, в качестве разметки для определения синтаксической близости MathML выражений было решено взять за основу разметку Presentation Markup ввиду следующих соображений:

- многие элементы Content Markup отвечают за семантический смысл выражения или за отношения между его частями, что при отображении не влияет на визуальное представление выражения, а следовательно и на синтаксическую структуру выражения;
- из-за богатого разнообразия элементов в Content Markup, некоторые операции, несущие разный семантический смысл, при отображении могут быть одинаковыми или очень похожими. В то же время Presentation Markup имеет фиксированный небольшой набор элементов, отвечающий за отображение конкретной конструкции выражения;
- в интернете наибольшее распространение получает Presentation Markup из-за того, что многие формулы, написанные на MathML, предназначены для визуального восприятия, а разметки Presentation Markup достаточно, чтобы визуально представить практически любое выражение необходимым образом.

Рассматриваемое MathML выражение решено представлять в виде упорядоченного ориентированного дерева E_1 , с неограниченным количеством дочерних узлов. Всем узлам дерева v задать веса $w(v)$. В этом случае, весовая функция $w(T)$ дерева выражения или его части будет определяться как сумма весов всех узлов, которые в него

входят. Общая часть деревьев E_1 и E_2 — поддерево, полностью совпадающее с частью дерева E_1 и частью дерева E_2 , а $E_1 \cap E_2$ — набор всех общих частей деревьев E_1 и E_2 . Формула, определяющая схожесть выражений E_1 и E_2 , определена как:

После рассмотрения методов определения схожести древовидных упорядоченных структур в разделе 1.2 и, при помощи работы [13], было решено определить синтаксическую схожесть математических выражений следующим образом:

$$Sim(E_1, E_2) = \frac{w(E_1 \cap E_2)}{w(E_1) + w(E_2)} \quad (2.1)$$

Также было решено ввести такой термин, как нормализация дерева выражения — это обезличивание переменных и числовых значений (терминальных узлов). Решено использовать следующие паттерны, часть из которых были заимствованы из работы [13], по возможной схожести мат. выражений:

- **Математическая эквивалентность:** E_1 и E_2 математически эквивалентны, если они семантически одинаковы (Пример: $\frac{d(\sin(x))}{dx} = (\sin(x))'$)
- **Идентичны:** E_1 и E_2 идентичны, если они абсолютно одинаковы.
- **Синтаксически идентичны:** E_1 и E_2 синтаксически идентичны, если идентичны после обезличивания переменных (Пример: $\sin(a) = \sin(b)$)
- **n -схожи:** нормализованные E_1 и E_2 n -схожи, если $sim(E_1, E_2) \geq n$, где n — параметрическое значение, определяющее порог схожести двух выражений.
 1. **n -схожесть подвыражений:** E_1 и E_2 n -схожи на уровне подвыражений, если у них существует общее поддерево, содержащее все терминальные узлы обоих деревьев (Пример: $\text{six}(x)^2$ и $\frac{\sin(x)}{2}$, рис. 2.1)
 2. **Структурная n -схожесть:** E_1 и E_2 n -схожи и у них существует общая область, начинающаяся с корней обоих деревьев, из узлов с одинаковыми правилами перехода к последующим узлам. (Пример: $x + \sqrt{\text{six}(a)}$ и $x + \sqrt{2b}$, рис. 2.2)

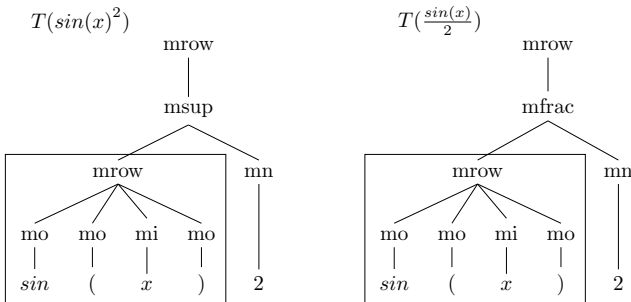


Рисунок 2.1. Структурная n -схожесть выражений $\sin(x)^2$ и $\frac{\sin(x)}{2}$ представленных в формате MathML при $n \geq \frac{18}{26}$

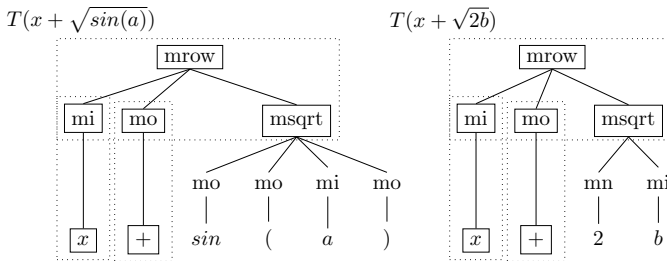


Рисунок 2.2. N -схожесть подвыражений выражений $x + \sqrt{\sin(a)}$ и $x + \sqrt{2b}$, представленных в формате MathML при $n \geq \frac{12}{24}$

На рис. 2.1 и рис. 2.2 в числителе неравенства — суммарное количество общих узлов между деревьями, а в знаменателе — суммарное количество всех узлов деревьев. Дробь формируется из формулы схожести математических выражений 2.1, представленной выше в этом же разделе.

В качестве одного из алгоритмов, рассмотренных в разделе 1 было решено взять алгоритм, в основе которого метод наложения одного дерева на другой, который определяет схожесть количеством узлов с одинаковыми правилами перехода между ними (параграф 1.2.2), так как он ближе всего подходит для вычисления синтаксической схожести выражений, представленных в формате MathML.

2.2. Модификация алгоритма

Алгоритм, выбранный за основу, не может быть использован без модификаций из-за того, что при расчете схожести деревьев между собой он:

- не учитывает одинаковые терминальные узлы;
- не учитывает одинаковые узлы, которые имеют одно и то же значение и которые стоят в том же самом порядке относительно своих родственных узлов, но не имеющих одинакового правила перехода от себя к другим узлам.

Для адаптации алгоритма для возможности поиска структурной схожести и схожести подвыражений математических выражений, представленных в формате MathML, решено было его модифицировать.

Прежде всего определим базовые понятия, неизменные для базового и модифицированного алгоритмов.

В ходе наложения деревьев друг на друга в узлах n_1 первого дерева и n_2 второго дерева, образуется набор пар узлов $L(n_1, n_2)$, которые также накладываются друг на друга. К примеру, при наложении дерева T_1 на дерево T_2 в узлах a^1 и a^2 на рис. 2.3 этот набор пар будет равен $L(a^1, a^2) = \{(a^1, a^2), (b^1, h^2), (c^1, c^2), (d^1, d^2), (e^1, j^2), (f^1, f^2), (g^1, g^2)\}$.

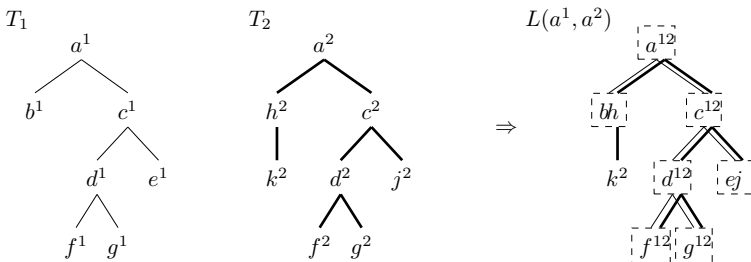


Рисунок 2.3. Пример наложения деревьев T_0 и T_1 в узлах a^1 и a^2

Пусть $ch(n, i)$ — i -ый дочерний узел узла n . Тогда множество пар узлов $L(n_1, n_2)$ формируется следующим образом:

1. $(n_1, n_2) \in L(n_1, n_2)$

2. Если $(m_1, m_2) \in L(n_1, n_2)$,
то $(ch(m_1, i), ch(m_2, i)) \in L(n_1, n_2)$
3. $L(n_1, n_2)$ включает в себя все пары узлов, сгенерированные рекурсивно пунктом номер 2.

Также согласно базовому алгоритму — вводится понятие множества $N_{TO}(n_1, n_2)$. Оно определяется количеством нетерминальных пар узлов с одинаковыми правилами перехода и принадлежащими множеству накладываемых пар узлов при наложении одного дерева на другое в узлах n_1, n_2 . $N_{TO}(n_1, n_2)$ выражается формулой 2.2:

$$N_{TO}(n_1, n_2) = \left\{ (m_1, m_2) \middle| \begin{array}{l} m_1 \in NT(T_1) \\ m_2 \in NT(T_2) \\ (m_1, m_2) \in L(n_1, n_2) \\ PR(m_1) = PR(m_2) \end{array} \right\} \quad (2.2)$$

Количество пар узлов $C_{TO}(n_1, n_2)$, содержащихся в множестве $N_{TO}(n_1, n_2)$, определяет количество общих узлов при наложении дерева T_1 на дерево T_2 в узла n_1 и n_2 и определяется формулой 2.3:

$$C_{TO}(n_1, n_2) = |N_{TO}(n_1, n_2)| \quad (2.3)$$

Для того, чтобы начать учитывать терминальные узлы, изменим часть условий для формирования множества $N_{TO}(n_1, n_2)$. В первую очередь, введем допущение, что m_1 и m_2 могут быть терминальными узлами. Пусть, если $NT(T)$ — все узлы дерева T за исключением терминальных, то $nodes(T)$ — все узлы дерева T .

Как известно, терминальные узлы не содержат дочерних узлов, ввиду этого у них нет правил перехода от них самих к дочерним узлам. Сделаем допущение: если узлы m_1 и m_2 деревьев T_1 и T_2 являются терминальным и их названия совпадают, то их правила перехода также совпадают. После внесения изменений, базовая формула 2.2, формирующая количество схожих пар узлов между деревьями при наложении их друг на друга в узлах n_1 и n_2 будет иметь вид:

$$N'_{TO}(n_1, n_2) = \left\{ (m_1, m_2) \middle| \begin{array}{l} m_1 \in nodes(T_1) \\ m_2 \in nodes(T_2) \\ (m_1, m_2) \in L(n_1, n_2) \\ PR(m_1) = PR(m_2) \end{array} \right\} \quad (2.4)$$

Подсчет количества общих узлов при наложении дерева T_1 на дерево T_2 в узла n_1 и n_2 в модифицированном алгоритме на этом этапе будет определяться схожим образом с формулой 2.3 и будет иметь вид:

$$C'_{TO}(n_1, n_2) = |N_{TO}(n_1, n_2)| \quad (2.5)$$

Пример подсчета схожести формулой 2.3 базового алгоритма и формулой 2.5 модифицированного алгоритма показан на рис. 2.4:

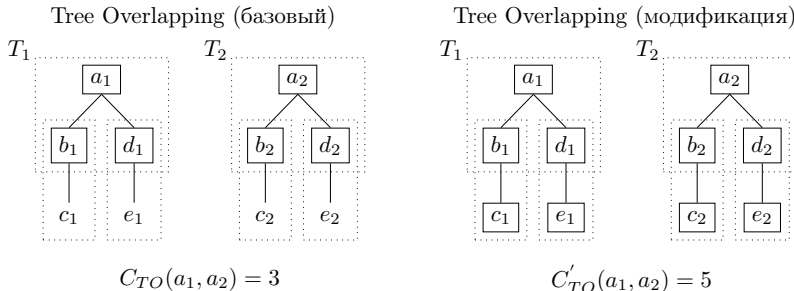


Рисунок 2.4. Пример подсчета схожести идентичных деревьев при их наложении в узлах a_1 и a_2 базовым алгоритмом (слева) и модифицированным (справа)

На примере, представленном на рис. 2.4, множества пар узлов N_{TO} будут определяться:

- $N_{TO}(a_1, a_2) = \{(a^1, a^2), (b^1, b^2), (d^1, d^2)\}$
- $N'_{TO}(a_1, a_2) = \{(a^1, a^2), (b^1, b^2), (d^1, d^2), (c^1, c^2), (e^1, e^2)\}$

Количества общих узлов между деревьями на рис. 2.4 будут равными:

- $C_{TO}(a_1, a_2) = |N_{TO}(a_1, a_2)| = 3$
- $C'_{TO}(a_1, a_2) = |N'_{TO}(a_1, a_2)| = 5$

Помимо схожести терминальных узлов, необходимо модифицировать алгоритм, чтобы он учитывал схожесть одинаковых узлов, которые имеют одно и то же значение и которые стоят в том же самом

порядке относительно своих родственных узлов, но не имеющих одинакового правила перехода от себя к другим узлам.

Введем понятия множества $P(n_1, n_2)$, которое содержит набор пар узлов в виде пути, начиная от узлов n_1, n_2 , и продолжая до самых последних одинаковых узлов, стоящих среди своих братьев и сестер в одном и том же порядковом номере, и для которых узлы n_1 и n_2 являются потомками. $P(n_1, n_2)$ формируется следующим образом:

1. $(n_1, n_2) \in P$
2. Если $ch(parent(n_1), i) = ch(parent(n_2), i)$
и $ch(parent(n_1), i) = n_1$
и $ch(parent(n_2), i) = n_2$
то $(parent(n_1), parent(n_2)) \in P$
3. $P(n_1, n_2)$ включает в себя все пары узлов, сгенерированные рекурсивно пунктом номер 2.

Введем понятие множества $P_{WPR}(n_1, n_2)$, которое определяется также, как и $P(n_1, n_2)$, с тем лишь исключением, что, если пара промежуточных узлов в пути содержит одно и то же правило перехода, то они в множество не заносятся. $P_{WPR}(n_1, n_2)$ формируется следующим образом:

1. $(n_1, n_2) \notin P_{WPR}$
2. Если $PR(parent(n_1)) \neq PR(parent(n_2))$
и $ch(parent(n_1), i) = ch(parent(n_2), i)$
и $ch(parent(n_1), i) = n_1$
и $ch(parent(n_2), i) = n_2$
то $(parent(n_1), parent(n_2)) \in P_{WPR}$
3. $P_{WPR}(n_1, n_2)$ включает в себя все пары узлов, сгенерированные рекурсивно пунктом номер 2.

На рис. 2.5 продемонстрирован пример формирования множества $P(n_1, n_2)$ и $P_{WPR}(n_1, n_2)$:

Как видно из рис. 2.5, множества P и P_{WPR} от узлов g_1 и g_2 будут равны:

- $P(g_1, g_2) = \{(g^1, g^2), (d^1, d^2), (c^1, c^2), (a^1, a^2)\}$

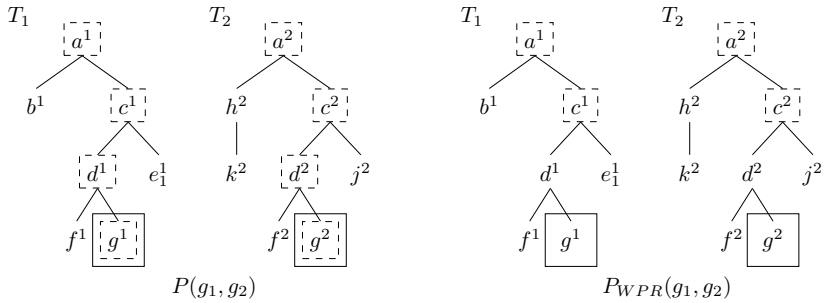


Рисунок 2.5. Определение множеств $P(n_1, n_2)$ (слева) и $P_{WPR}(n_1, n_2)$ (справа) на примере узлов g_1 и g_2 деревьев T_1 и T_2

- $P_{WPR}(g_1, g_2) = \{(c^1, c^2), (a^1, a^2)\}$

$P_{WPR}(g_1, g_2)$ не содержит пару узлов (d_1, d_2) из-за того, что узлы в ней имеют одинаковые правила перехода. По таким же рассуждениям пара узлов (g_1, g_2) также не заносится в множество $P_{WPR}(g_1, g_2)$.

Введем определение $\text{top}(n_1, n_2)$, обозначающее последнюю пару в множестве $P(n_1, n_2)$ или в множестве $P_{WPR}(n_1, n_2)$:

$$\text{top}(n_1, n_2) = \text{last}(n_1, n_2), \quad \text{last} \in P \vee P_{WPR} \quad (2.6)$$

На рис. 2.5 $\text{top}(g_1, g_2)$ будет определяться одинаково для $P(d_1, d_2)$ и для $P_{WPR}(d_1, d_2)$ и равняться в обоих случаях $\text{top}(d_1, d_2) = (a_1, a_2)$.

Введем формальное определение множества пар узлов в виде пути до узлов m_1, m_2 , получившихся в результате наложения узла n_1 на узел n_2 деревьев T_1 и T_2 :

$$P_{TO}(n_1, n_2) = \left\{ (m_1, m_2) \middle| \begin{array}{l} (p_1, p_2) \in N_{TO}(n_1, n_2) \\ (m_1, m_2) \in P_{WPR}(p_1, p_2), \\ \text{если } \text{top}(m_1, m_2) = (n_1, n_2) \end{array} \right\} \quad (2.7)$$

Окончательно преобразуем формулу подсчета схожести деревьев T_1 и T_2 при наложение узлов n_1 и n_2 . С учетом формулы 2.7 формула C_{TO} будет иметь вид:

$$C''_{TO}(n_1, n_2) = |N'_{TO}(n_1, n_2)| + |P_{TO}(n_1, n_2)| \quad (2.8)$$

Пример подсчета схожести деревьев T_0 и T_1 в узлах n_1 и n_2 базовым и модифицированным алгоритмами приведен на рис. 2.6:

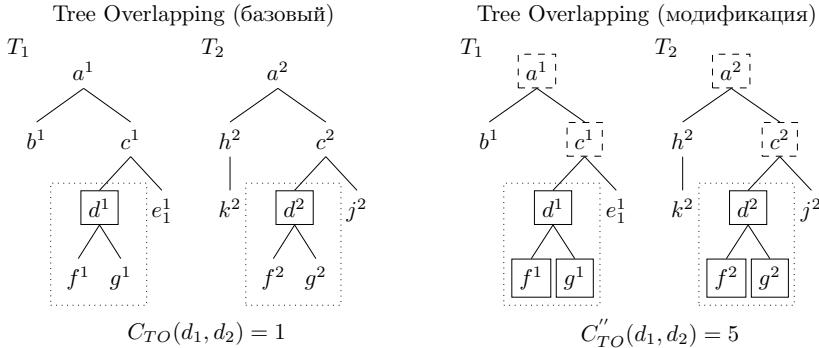


Рисунок 2.6. Пример поиска схожести между деревьями T_0 и T_1 базовым алгоритмом (слева) и модифицированным алгоритмом (справа)

Формула схожести между деревом T_1 и T_2 после модификации определяется следующим образом:

$$S'_{TO}(T_1, T_2) = \max_{n_1 \in \text{nodes}(T_1), n_2 \in \text{nodes}(T_2)} C''_{TO}(n_1, n_2) \quad (2.9)$$

В дальнейшем будут использоваться определения модифицированного алгоритма и для простоты восприятия формул $C''_{TO}(n_1, n_2)$ и $S'_{TO}(T_1, T_2)$ они будут цитироваться как $C_{TO}(n_1, n_2)$ и $S_{TO}(T_1, T_2)$ несмотря на то, что эти формулы соответствуют обозначениям формул базового алгоритма.

Алгоритм создания таблицы индексов при поиске схожести дерева по корпусу деревьев также претерпел изменения. Теперь таблица индексов может содержать терминальные правила перехода с терминальными узлами. Элементы таблицы индексов определяются следующей формулой:

$$I[p] = \left\{ (m) \left| \begin{array}{l} T \in F \\ m \in \text{nodes}(T) \\ p = PR(m) \end{array} \right. \right\} \quad (2.10)$$

Приведем пример составления таблиц индексов для корпуса из деревьев T_1 и T_2 (рис. 2.7) по базовому алгоритму (табл. 2.1) и по

модифицированному (табл. 2.2):

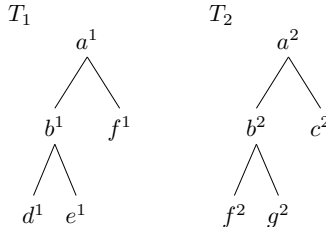


Рисунок 2.7. Корпус из деревьев T_1 и T_2

Таблица 2.1. Таблица индексов T_1, T_2 (базовый алгоритм)

p	$I[p]$
$a \rightarrow b f$	a^1
$b \rightarrow d e$	b^1
$a \rightarrow b c$	a^2
$b \rightarrow f g$	b^2

Таблица 2.2. Таблица индексов T_1, T_2 (модифицированный алгоритм)

p	$I[p]$
$a \rightarrow b f$	a^1
$b \rightarrow d e$	b^1
f	f^1, f^2
d	d^1
e	e^1
$a \rightarrow b c$	a^2
$b \rightarrow f g$	b^2
c	c^2
g	g^2

Как видно из табл. 2.1 и табл. 2.2, они отличаются друг от друга лишь наличием «пустых» правил перехода и терминальных узлов в таблице индексов.

В этом разделе, кроме вышеописанных, появляются некоторые дополнительные изменения при поиске схожести подвыражений. Эти изменения будут подробно описаны в разделе 2.4, посвященному поиску схожести подвыражений.

Далее, в подразделах 2.3 и 2.4 будут приведены примеры нахождения структурной схожести и схожести подвыражений модифициро-

ванным алгоритмом.

2.3. Применение алгоритма при вычислении структурной схожести

Приведем пример поиска структурной схожести между деревом T_0 и корпусом деревьев T_1 и T_2 (рис. 2.8). Для этого составим таблицу индексов (табл. 2.3) для дерева T_0 и таблицу индексов (табл. 2.4) для корпуса деревьев T_1 и T_2 .

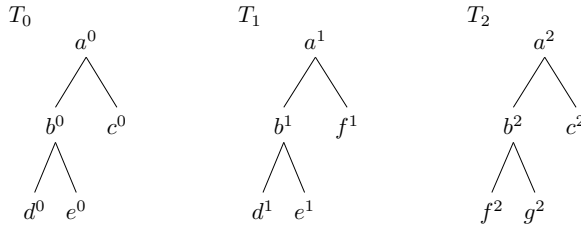


Рисунок 2.8. Запрашиваемое дерево T_0 и корпус из деревьев T_1 и T_2

Таблица 2.3. Таблица индексов
 T_0

p	$I[p]$
$a \rightarrow b c$	a^0
$b \rightarrow d e$	b^0
c	c^0
d	d^0
e	e^0

Таблица 2.4. Таблица индексов
 T_1, T_2

p	$I[p]$
$a \rightarrow b f$	a^1
$b \rightarrow d e$	b^1
f	f^1, f^2
d	d^1
e	e^1
$a \rightarrow b c$	a^2
$b \rightarrow f g$	b^2
c	c^2
g	g^2

Табл. 2.3 и табл. 2.4 сформированы по формуле 2.10. Левый столбец p содержит информацию о правиле перехода, который присутствует

ет среди узлов деревьев корпуса, а правый столбец $I[p]$ информацию о том, какой узел содержит данное правило перехода. По полученным таблицам индексов (табл. 2.3 и табл. 2.4), составим табл. 2.5 между узлами дерева T_0 и деревьями корпуса T_1 и T_2 .

Таблица 2.5. Таблица Тор между узлами дерева T_0 и узлами деревьев T_1 и T_2

(n, m)	$top(n, m)$
(a^0, a^2)	(a^0, a^2)
(b^0, b^1)	(a^0, a^1)
(c^0, c^2)	(a^0, a^2)
(d^0, d^1)	(a^0, a^1)
(e^0, e^1)	(a^0, a^1)

У табл. 2.5 левый столбец (n, m) содержит совпавшие узел дерева T_0 и узел дерева корпуса с одинаковыми правилами перехода. Правый столбец $top(n, m)$ содержит пару узлов, определенную формулой 2.6.

Подсчитываем количество одинаковых пар узлов из правого столбца табл. 2.5, являющегося множеством, определенным по формуле 2.4 и получаем $|N_{TO}(a_0, a_1)| = 3$, $|N_{TO}(a_0, a_2)| = 2$. С учетом того, что пара узлов (a_0, a_1) принадлежит множеству P_{WPR} , определенному ранее в разделе 2.2, получаем $|P_{TO}(a_0, a_1)| = 1$.

Согласно формуле 2.9 схожесть между запрашиваемым деревом T_0 и деревом корпуса T_1 будет равна $S_{TO}(T_0, T_1) = 3 + 1 = 4$, а между запрашиваемым деревом T_0 и деревом корпуса T_2 равна $S_{TO}(T_0, T_2) = 2$. Схожесть между деревьями продемонстрирована на рис. 2.9.

2.4. Применение алгоритма при вычислении схожести подвыражений

Приведем пример поиска схожести подвыражений между деревом T_0 и корпусом из деревьев T_1 и T_2 (рис. 2.10). Для этого составим таблицу индексов (табл. 2.6) для дерева T_0 и таблицу индексов (табл. 2.7) для корпуса T_1 и T_2 .

Табл. 2.6 и табл. 2.7 сформированы по формуле 2.10. Левый столбец p содержит информацию о правиле перехода, который присутствует

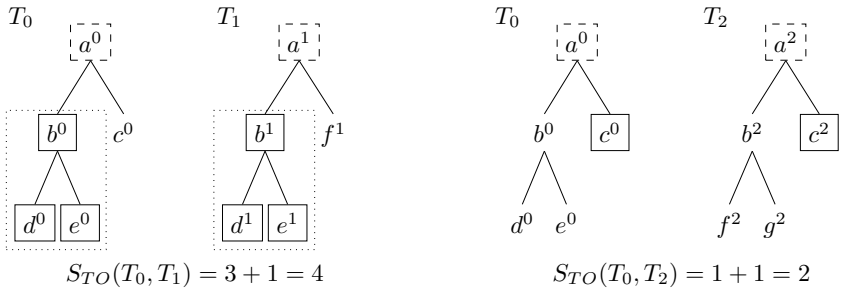


Рисунок 2.9. Структурная схожесть между деревьями T_0 и T_1 (слева) и между деревьями T_0 и T_2 (справа)

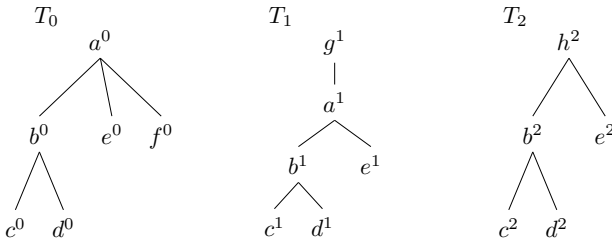


Рисунок 2.10. Запрашиваемое дерево T_0 и корпус из деревьев T_1 и T_2

ет среди узлов деревьев корпуса, а правый столбец $I[p]$ информацию о том, какой узел содержит данное правило перехода. По полученным таблицам индексов (табл. 2.6 и табл. 2.7), составим табл. 2.8 между узлами дерева T_0 и деревьями корпуса T_1 и T_2 .

У табл. 2.8 левый столбец (n, m) содержит совпавшие узел дерева T_0 и узел дерева корпуса с одинаковыми правилами перехода. Правый столбец $top(n, m)$ содержит пару узлов, определенную формулой 2.6. Далее, подсчитываем количество одинаковых пар узлов из правого столбца табл. 2.5, являющегося множеством, определенном по формуле 2.4 и получаем:

- $|N_{TO}(a_0, a_1)| = 4$
- $|N_{TO}(b_0, b_2)| = 3$

С учетом того, что пара узлов (a_0, a_1) принадлежит множеству

Таблица 2.6. Таблица индексов
 T_0

p	$I[p]$
$a \rightarrow b c f$	a^0
$b \rightarrow c d$	b^0
e	e^0
f	f^0
c	c^0
d	d^0

Таблица 2.7. Таблица индексов
 T_1, T_2

p	$I[p]$
$g \rightarrow a$	g^1
$a \rightarrow b e$	a^1
$b \rightarrow c d$	b^1, b^2
e	e^1
c	c^1, c^2
d	d^1, d^2
$h \rightarrow b$	h^2
$b \rightarrow f g$	b^2

Таблица 2.8. Таблица Тор между узлами дерева T_0 и узлами деревьев T_1 и T_2

(n, m)	$top(n, m)$
(b^0, b^1)	(a^0, a^1)
(b^0, b^2)	(b^0, b^2)
(e^0, e^1)	(a^0, a^1)
(c^0, c^1)	(a^0, a^1)
(c^0, c^2)	(b^0, b^2)
(d^0, d^1)	(a^0, a^1)
(d^0, d^2)	(b^0, b^2)

P_{WPR} , определенному ранее в разделе 2.2, то $|P_{TO}(a_0, a_1)| = 1$.

Схожести, полученные в результате наложения дерева T_0 на деревья корпуса T_1 и T_2 в узла a_0, a_1 и b_0, b_2 определяются формулой 2.8 и равны:

- $CTO(a_0, a_1) = |N_{TO}(a_0, a_1)| + |P_{TO}(a_0, a_1)| = 5$
- $CTO(b_0, b_2) = |N_{TO}(a_0, a_1)| = 3$

Далее необходимо узнать, являются ли полученные схожие области поддеревьями. При наложении узлов n_1 и n_2 друг на друга, мы

будем считать, что, в случае, если полученная область является поддеревом, то она должна содержать количество листьев равное большему из двух количеств листьев поддеревьев, образованных отдельно от узлов n_1 и n_2 .

К примеру, на рис. 2.10 поддерево дерева T_0 , образованное от узла a_0 содержит 4 терминальных узла, а поддерево T_1 , образованное от узла a_1 содержит 3 терминальных узла. При наложении деревьев в узлах a_0 и a_1 , количество листьев, которое должно быть покрыто «потенциальным получившимся поддеревом» равно $\max\{3, 4\} = 4$.

Введем понятие $Leaves_{cover}(n_1, n_2)$, которое будет содержать два числа — первое будет определять, какое общее количество листьев покроется при наложении узлов n_1, n_2 друг на друга, а второе будет показывать сколько необходимо покрыть листьев, чтобы полученная при таком наложении область была поддеревом.

Для нашего рассматриваемого примера, еще раз пройдем таблицу Тор (табл. 2.8) и просмотрим наличие терминальных пар узлов из левого столбца у узлов (n_1, n_2) из правого, и если они терминальные, прибавим к значению $Leaves_{cover}(n_1, n_2)$ единицу. Получим следующие значения:

- $Leaves_{cover}(a_0, a_1) = 3/4$
- $Leaves_{cover}(b_0, b_2) = 3/3$

Можно сказать, что область, полученная при наложении узлов a_0 и a_1 не является поддеревом, а область, полученная при наложении b_0 и b_2 — является. Это продемонстрировано на рис. 2.11.

На рис. 2.11 видно, что схожесть между деревьями T_0 и T_2 в узлах b_0, b_2 полностью покрыта поддеревом, в то время как схожесть между T_0 и T_1 в узлах a_0, a_1 нет. На текущем этапе задача по поиску схожести подвыражений между деревьями T_0 и T_1 не решена. Из-за этого необходимо еще раз повторить алгоритм нахождения схожести, преобразовав деревья T_0 и T_1 к деревьям T'_0 и T'_1 , которые будут отличаться вычеркнутыми узлами, которые при наложении не покрыли все поддерево. Кроме этого, вычеркиваются и все вышеперечисленные относительно них узлы. Преобразование деревьев T_0, T_1 к T'_0 и T'_1 продемонстрировано на рис. 2.12.

Еще раз составим таблицу индексов, но теперь уже только для дерева T'_0 (табл. 2.9) и T'_1 (табл. 2.10):

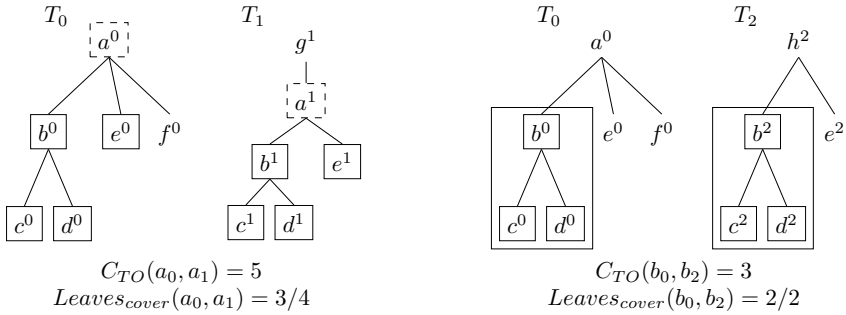


Рисунок 2.11. Схожесть между деревьями T_0 и узлами корпуса в узлах a_0, a_1 и b_0, b_2

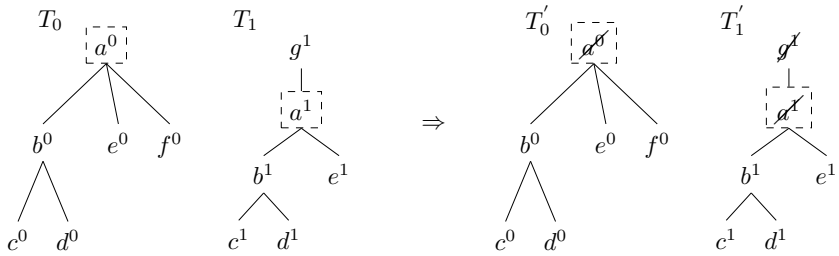


Рисунок 2.12. Переход от деревьев T_0 , T_1 к T_0' , T_1' методом вычеркивания a_0 , a_1 и всех вышележащих отмеченных узлов

По табл.2.11 подсчитываем количество одинаковых пар узлов из правого столбца и получаем:

- $|N_{TO}(b_0, b_1)| = 3$
 - $|N_{TO}(e_0, e_1)| = 1$

В результате наложения дерева T_0' на дерево T_1' в узлах b_0, b_1 и e_0, e_1 схожести будут равны:

- $CTO(b_0, b_1) = |N_{TO}(b_0, b_1)| = 3$
 - $CTO(e_0, e_1) = |N_{TO}(e_0, e_1)| = 1$

Таблица 2.9. Таблица индексов T_0'

p	$I[p]$
$b \rightarrow c d$	b^0
e	e^0
f	f^0
c	c^0
d	d^0

Таблица 2.10. Таблица индексов T_1'

p	$I[p]$
$b \rightarrow c d$	b^1
e	e^1
c	c^1
d	d^1

Таблица 2.11. Таблица Тор между узлами дерева T_0' и узлами дерева T_1'

(n, m)	$top(n, m)$
(b^0, b^1)	(b^0, b^1)
(e^0, e^1)	(e^0, e^1)
(c^0, c^1)	(b^0, b^1)
(d^0, d^1)	(b^0, b^1)

Подсчитываем количество листьев, которые покрыли области при наложении узлов b_0, b_1 и e_0, e_1 :

- $Leaves_{cover}(b_0, b_1) = 2/2$
- $Leaves_{cover}(e_0, e_1) = 1/1$

Поскольку в обоих случаях были покрыты все листья, то обе области, полученные в результате наложения b_0, b_1 и e_0, e_1 , являются поддеревьями и нам подходят. В случае, если бы это было не так, нам бы пришлось еще раз переходить от рассмотрения деревьев T_0' и T_1' к последующим, и так до тех пор, пока все области, полученные при дальнейшем наложении друг на друга в одинаковых узлах не стали бы являться поддеревьями.

Вернемся к исходной задаче и подсчитаем все схожести, полученные при наложении одинаковых узлов между запрашиваемым деревом T_0 и деревьями корпуса T_1 и T_2 , которые покрыты поддеревом:

- $CTO(b_0, b_2) = 3$

- $CTO(b_0, b_1) = 3$
- $CTO(e_0, e_1) = 1$

Согласно формуле 2.9 схожесть между запрашиваемым деревом T_0 и деревом корпуса T_1 будет равна $S_{TO}(T_0, T_1) = 3$, а между запрашиваемым деревом T_0 и деревом корпуса T_2 также равна $S_{TO}(T_0, T_2) = 3$. Схожесть между деревьями продемонстрирована на рис. 2.13.

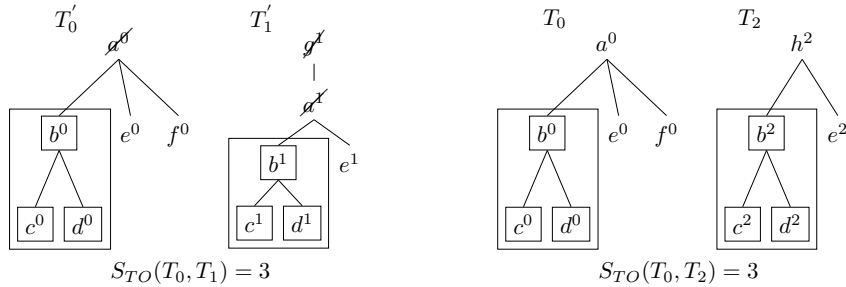


Рисунок 2.13. Схожесть подвыражений между деревьями T_0 и T_1 (слева) и между деревьями T_0 и T_2 (справа)

3. ОПИСАНИЕ ПРИЛОЖЕНИЯ, РЕАЛИЗУЮЩЕГО ПОИСК СИНТАКСИЧЕСКИ СХОЖИХ МАТЕМАТИЧЕСКИХ ВЫРАЖЕНИЙ НА ОСНОВЕ РАЗРАБОТАННОГО АЛГОРИТМА

С целью демонстрации поиска и тестирования математических выражений модифицированным алгоритмом было разработано приложение–прототип, которое реализует следующие заявленные функциональные требования:

- возможность парсинга математических выражений в формате MathML;
- хранение древовидных представлений математических выражений в базе;
- реализация поиска схожих математических выражений из базы заданному математическому выражению;
 1. на основе структурной схожести;
 2. на основе схожести подвыражений;
- возможность визуального представления полученных результатов.

Для реализации было решено выбрать язык Java в связи с наличием библиотеки по визуализации выражений в формате MathML, а также опытом разработки программ на этом языке. В качестве среды разработки была выбрана IDE Netbeans.

На рис. 3.1 приведена диаграмма основных классов разработанного приложения. Для большей наглядности на диаграмме отражены только основные методы классов. Описание разработанных классов будет приведено в последующих параграфах.

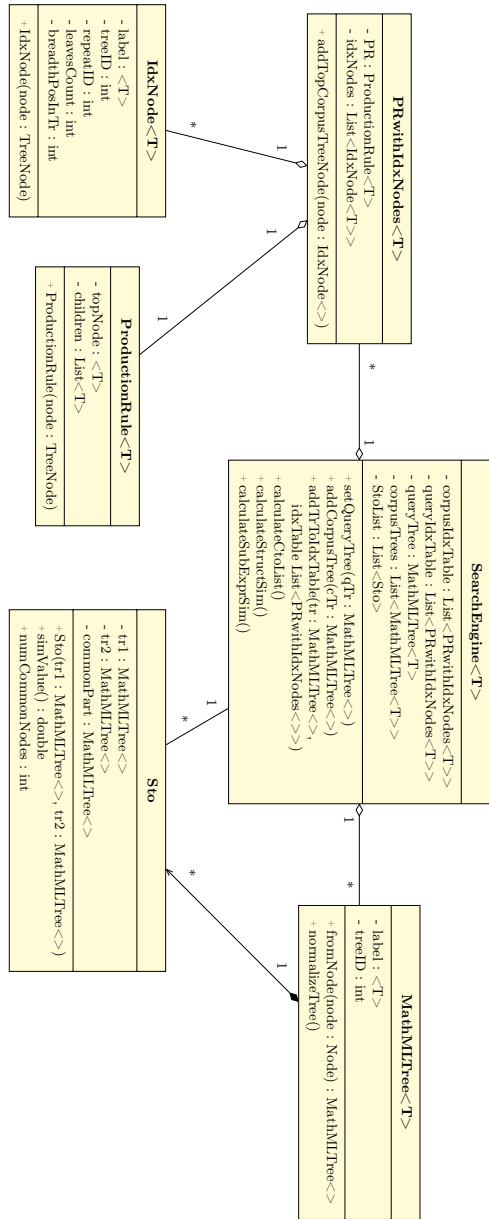


Рисунок 3.1. Диаграмма UML основных классов приложения (часть методов опущена для большей наглядности)

3.1. Генерация MathML выражений и их обработка

Все файлы с математическими выражениями в формате MathML хранятся отдельно в каждом файле с расширением «.xml». Их генерация производилась путем написания необходимых выражений в формате L^AT_EX и дальнейшей их конвертации с помощью конвертера [14].

Для парсинга файлов с математическими выражениями используется соответствующий метод класса MathMLParserSupport из сторонней библиотеки net.sourceforge.jeuclid. Полученный объект класса Document принимается параметром для метода, который генерирует объект разработанного класса MathMLTree для последующей работы с древовидным представлением выражения. Ниже приведен фрагмент кода, иллюстрирующий данный порядок действий:

```
1 // загружаем xml файл
2 File f = new File(path, fileName);
3
4 // парсим файл
5 Document domDocument = MathMLParserSupport.parseFile(f);
6
7 // получаем объект для работы с древовидным представлением выражения
8 this.mathMLTree = MathMLTree.fromNode(domDocument.getDocumentElement())
    ;
```

Поскольку данное приложение носит цель демонстрации алгоритма, все данные о математических выражениях находятся отдельно в каждом файле, а не в базе данных. Они загружаются и обрабатываются данным фрагментом кода каждый раз во время исполнения программы.

3.2. Сущностные классы

3.2.1. Класс, отвечающий за хранение и работу с древовидным представлением выражения

Для хранения древовидных представлений выражений был разработан класс MathMLTree (прилож. А.4), который наследовал реализацию класса DefaultMutableTreeNode, определенного в пакете javax.swing.treeTreeNode, который содержит в себе два основных поля: объекта родителя и список объектов дочерних узлов, принадлежащих тому же самому классу, и ряд методов для работы с узлами.

Решение наследоваться было принято ввиду наличия всех основных методов, необходимых для работы с древовидным представлени-

ем объекта. Из них можно выделить следующие:

- **public int getChildCount()** : возвращает количество дочерних узлов;
- **public boolean isRoot()** : определяет, является ли данный узел корневым, т.е. не имеет вышележащих узлов;
- **public Enumeration breadthFirstEnumeration()**: возвращает список узлов в порядке обхода узлов дерева в ширину (рис. 3.2);
- **public Enumeration depthFirstEnumeration()**: возвращает список узлов в порядке обхода узлов дерева в глубину (рис. 3.2);

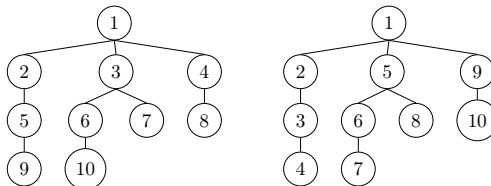


Рисунок 3.2. Пример обхода дерева в ширину (слева) и в глубину (справа)

- **public int getSiblingCount()** : возвращает количество дочерних узлов от родителя текущего узла;
- **public DefaultMutableTreeNode getNextSibling()** : выдает следующего узла–родственника по списку;
- **public boolean isLeaf()**: определяется, имеет ли данный узел дочерние узлы или нет.

Кроме вышеперечисленных методов, унаследованных от класса DefaultMutableTreeNode, были также добавлены поле–идентификатор узла и следующие основные методы:

- **public static MathMLTree fromNode(Node node)**: возвращает дерево выражения из древовидной структуры узла типа Node (получаемой после парсинга xml документа);

- **public static MathMLTree fromString(String s)**: возвращает дерево выражения из строки (данный метод использовался для генерации тестовых деревьев);
- **public void normalizeTree()**: нормализует дерево выражения, обезличивая (замена на обобщающие названия) необходимые узлы;
- **public int getSiblingsNumber()**: возвращает количество дочерних узлов от родителя текущего узла;
- **public int getLabelIdxTime()**: возвращает каким по счету встретился этот узел среди узлов с таким же названием от корня дерева при обходе дерева в ширину;
- **public int getNodeBreadthOrder()**: возвращает номер узла при обходе дерева в ширину, начиная от корневого узла.
- **public TreeNode getNodeByBreadthOrderIndex(int n)**: возвращает узел под номером n при обходе поддерева в ширину, начинаяющегося от текущего узла.

Представленные методы были добавлены для последующего их использования в ходе поиска необходимой информации в древовидных представлениях выражений во время поиска их схожести по разработанному алгоритму.

3.2.2. Классы, отвечающие за составление таблиц индексации деревьев выражений

Для хранения дополнительной информации об узлах был разработан класс IdxNode (прилож. А.2). Класс содержит такие поля как:

- идентификатор узла (название)
- идентификатор дерева, в котором находится данный узел
- каким по счету встречается узел с тем же идентификатором в дереве
- количество листьев у узла
- позиция в дереве при обходе в ширину.

Кроме этого был разработан метод для гибкой оценки равенства объектов данного класса. В зависимости от параметра, объекты признаются равными, если совпадают все поля объектов или же некоторая часть из них.

Для хранения правил перехода от одного узла к последующим был разработан класс ProductionRule (прилож. А.5). При этом важно отметить, что данный класс содержит лишь информацию об идентификаторе (названии) узлов и не привязывается к конкретным узлам в дереве.

Для связывания информации между правилами перехода и узлами, которые содержат данное правило, был разработан класс PRwithIdxNodes (прилож. А.6), который агрегирует в себя объект класса ProductionRule и список объектов IdxNode.

С помощью классов, описанных в данном параграфе составляются таблицы индексов (список из правил перехода, каждый из которых содержит набор узлов с данным правилом перехода) для узлов математических выражений в древовидном представлении.

3.2.3. Класс, реализующий поиск схожести по разработанному алгоритму

Для реализации поиска структурной схожести и схожести подвыражений был разработан класс SearchEngine (прилож. А.1).

Ниже приведены поля класса с их описанием:

- **MathMLTree qTr:** дерево выражения, для которого будет производиться поиск схожести;
- **List<MathMLTree> cTrs:** список из корпуса деревьев выражений, по которым будет производиться поиск;
- **List<PRwithIdxNodes> qIdxTb:** таблица индексов для запрашиваемого дерева;
- **List<PRwithIdxNodes> cIdxTb:** таблица индексов для корпуса деревьев;
- **ArrayList<Sto> stoList:** список объектов, содержащих информацию о схожести между запрашиваемым деревом *qTr* и каждым деревом корпуса *cTrs*.

Ниже приведены основные методы данного класса с их описанием:

- **public void setQueryTree(MathMLTree qTr):** задаем дерево выражения, для которого будет производится поиск схожести (во время выполнения метода данное дерево индексируется для заполнения таблицы индексов запрашиваемого дерева $qIdxTb$);
- **public void addCorpusTree(MathMLTree cTr):** добавляем дерево выражения в корпус, по которому будет производиться поиск (во время выполнения метода данное дерево индексируется для дополнения информации к таблице индексов корпуса $cIdxTb$);
- **public void calculateStructuralSimilarity():** производится подсчет схожести подвыражений между запрашиваемым деревом qTr и каждым деревом корпуса $cTrs$ (алгоритм подробно изложен в подразделе 2.3), результат заносится в $stoList$;
- **public void calculateSubExprSimilarity():** производится подсчет структурной схожести между запрашиваемым деревом qTr и каждым деревом корпуса $cTrs$ (алгоритм подробно изложен в подразделе 2.4), результат заносится в $stoList$;

В следующем фрагменте кода приведен пример использования объекта данного класса для подсчета одного из видов схожести между выражениями, хранимыми в файлах, представленных в формате MathML:

```
1 MathExpression expr1 = new MathExpression(PATH_TO_MATHML_DATABASE, "expr1.xml");
2 MathExpression expr2 = new MathExpression(PATH_TO_MATHML_DATABASE, "expr2.xml");
3 MathExpression expr3 = new MathExpression(PATH_TO_MATHML_DATABASE, "expr3.xml");
4
5 SearchEngine se = new SearchEngine();
6 se.setQueryTree(expr1.getMathMLTree());
7 se.addCorpusTree(expr2.getMathMLTree());
8 se.addCorpusTree(expr3.getMathMLTree());
9
10 se.calculateSubExprSimilarity();
```

3.2.4. Класс, хранящий информацию о схожести между выражениями

Для хранения информации о схожести между древовидными представлениями математических выражений, был разработан класс Sto (прилож. А.7). Класс содержит:

- ссылки на объекты сравниваемых деревьев выражений;
- вид схожести между деревьями выражений;
- общую область из узлов, определяющую схожесть между деревьями выражений.

С помощью объекта данного класса можно получить информацию о количестве схожих узлов между деревьями, о месте начала схожести и т.п.

3.3. Визуальное представление результатов

Для настройки параметров поиска и представления результатов была использована библиотека Swing для создания графического интерфейса. На рис. 3.3 и рис. 3.4 приведены окна графического интерфейса, отвечающие за установку параметров поиска и вывод результатов.

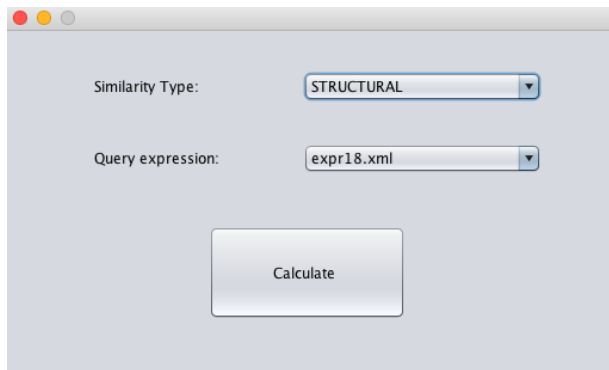


Рисунок 3.3. Установка параметров поиска в графическом интерфейсе (SettingsFrame)

The screenshot shows a window titled "expr1.xml" with a "Query:" field containing the expression $\sqrt{2}\sin\left(\frac{3\pi}{2} - x\right)\sin x = \cos x$. To the right, it says "n-Similarity type: STRUCTURAL". Below this, a table lists three search results:

rank	result	common nodes/all nodes	similarity
1	$2\sin\left(\frac{7\pi}{2} - x\right)\sin x = \cos x$	60 / 67	0.896
2	$2\cos\left(x - \frac{11\pi}{2}\right)\cos x = \sin x$	38 / 67	0.567
3	$2\cos\left(\frac{\pi}{2} + x\right) = \sqrt{3}\tan x$	24 / 63	0.381

Рисунок 3.4. Вывод результата поиска схожести заданному выражению в графическом интерфейсе (ResultFrame)

Для отображения математических выражений используется библиотека net.sourceforge.jeuclid, которая содержит класс, отвечающий за отображение математического выражения средствами Swing (javax.swing.JComponent).

```
Running searchengine.SearchEngineTest
Sto(T0,T1) = 16 / 67 (mfrac, mfrac)
Sto(T0,T2) = 4 / 58 (mn, mn)
Sto(T0,T3) = 4 / 58 (mn, mn)
Sto(T0,T4) = 4 / 60 (mn, mn)
Sto(T0,T5) = 6 / 63 (msqrt, msqrt)
Sto(T0,T6) = 4 / 64 (mn, mn)
```

Рисунок 3.5. Консольный вывод результата поиска схожести заданному выражению

Графический интерфейс, предоставляет не всю информацию относительно результатов поиска — он показывает лишь пять выражений, оказавшихся самыми схожими с заданным. Ввиду этого, кроме графического интерфейса, также присутствует возможность консоль-

ного вывода информации. На рис. 3.5 приведен пример консольного вывода информации относительно схожести каждого уравнения из базы с заданным после поиска схожести подвыражений между ними.

Данные способы визуального представления результатов поиска позволяют полноценно протестировать эффективность алгоритма. Тестирование алгоритма и оценка его эффективности будет произведена в разделе 4.

4. ОЦЕНКА ЭФФЕКТИВНОСТИ АЛГОРИТМА

Существует проблема в виде отсутствия общепринятого корпуса математических выражений, разбитых по определенным классам схожести. Это вызывает трудности для проверки эффективности разработанного алгоритма на основе определенных в 2.1 паттернов схожести математических выражений. Ниже, в подразделе 4.1 будут приведены свои корпуса, а в подразделах 4.2 и 4.3 будет рассмотрена эффективность разработанного алгоритма на их основе.

4.1. Составление корпусов для оценки эффективности алгоритма

За источник математических выражений, взятых в основу для составления корпусов, был взят образец 13-го задания ЕГЭ профильного уровня по математике, содержащий тригонометрические уравнения. Набор из 30 заданий из этого образца продемонстрирован в табл. 4.1.

Таблица 4.1. База уравнений

№	Выражение	№	Выражение
1	$\sqrt{2} \sin\left(\frac{3\pi}{2} - x\right) \sin x = \cos x$	16	$2 \cos\left(\frac{\pi}{2} + x\right) = \sqrt{3} \tan x$
2	$\cos\left(\frac{\pi}{2} + 2x\right) = \sqrt{2} \sin x$	17	$\sin 2x + 2 \sin^2 x = 0$
3	$2 \cos\left(x - \frac{11\pi}{2}\right) \cos x = \sin x$	18	$2 \sin\left(\frac{7\pi}{2} - x\right) \sin x = \cos x$
4	$2 \sin^4 x + 3 \cos 2x + 1 = 0$	19	$2 \sin^2 x - \sqrt{3} \sin 2x = 0$
5	$(2 \cos x + 1)(\sqrt{-\sin x} - 1) = 0$	20	$\cos 2x - 3 \cos x + 2 = 0$
6	$(2 \sin x - 1)(\sqrt{-\cos x} + 1) = 0$	21	$2 \cos^3 x - \cos^2 x + 2 \cos x - 1 = 0$
7	$4 \sin^4 2x + 3 \cos 4x - 1 = 0$	22	$\cos 2x + 3 \sin x - 2 = 0$
8	$\cos 2x = \sin\left(x + \frac{\pi}{2}\right)$	23	$\sin 2x + \sqrt{2} \sin x = 2 \cos x + \sqrt{2}$
9	$2\sqrt{3} \cos^2\left(\frac{3\pi}{2} + x\right) - \sin 2x = 0$	24	$3 \cos 2x - 5 \sin x + 1 = 0$
10	$\cos^2 x - \frac{1}{2} \sin 2x + \cos x = \sin x$	25	$\cos 2x - 5\sqrt{2} \cos x - 5 = 0$
11	$\cos 2x = 1 - \cos\left(\frac{\pi}{2} - x\right)$	26	$-\sqrt{2} \sin\left(-\frac{5\pi}{2} + x\right) \sin x = \cos x$
12	$\sqrt{\cos^2 x - \sin^2 x} (\tan 2x - 1) = 0$	27	$\frac{2 \sin^2 x - \sin x}{2 \cos x - \sqrt{3}} = 0$

Продолжение табл. 4.1

№	Выражение	№	Выражение
13	$\tan x + \cos\left(\frac{3\pi}{2} - 2x\right) = 0$	28	$\frac{2\sin^2 x - \sin x}{2\cos x + \sqrt{3}} = 0$
14	$\cot x + \cos\left(\frac{\pi}{2} + 2x\right) = 0$	29	$4\cos^4 x - 4\cos^2 x + 1 = 0$
15	$\frac{1}{2}\sin 2x + \sin^2 x - \sin x = \cos x$	30	$4\sin^2 x + 8\sin\left(\frac{3\pi}{2} + x\right) + 1 = 0$

Задания были заимствованы с общеобразовательного портала для подготовки абитуриентов [15]. На основе этих уравнений в составе двух экспертов в области подготовки к единому государственному экзамену — автором данной магистерской работы и одним из преподавателей в университете — были составлены:

- корпус, разбивающий рассматриваемые уравнения по классам структурной схожести (табл. 4.2);
- корпус, разбивающий уравнения по классам схожести подвыражений (табл. 4.3).

В ходе составления корпусов, разногласий по отнесению уравнений к тому или иному виду схожести не было. Ниже приведены составленные корпуса.

Таблица 4.2. Корпус, разбивающий уравнения по классам структурной схожести

№	Выражение	Класс структурн. схож.
1	$\sqrt{2}\sin\left(\frac{3\pi}{2} - x\right)\sin x = \cos x$	(1)
2	$2\cos(x - \frac{11\pi}{2})\cos x = \sin x$	
3	$2\sin\left(\frac{7\pi}{2} - x\right)\sin x = \cos x$	
4	$-\sqrt{2}\sin\left(-\frac{5\pi}{2} + x\right)\sin x = \cos x$	
5	$\cos 2x - 3\cos x + 2 = 0$	(2)
6	$\cos 2x + 3\sin x - 2 = 0$	
7	$3\cos 2x - 5\sin x + 1 = 0$	
8	$\cos 2x - 5\sqrt{2}\cos x - 5 = 0$	

Продолжение табл. 4.2

№	Выражение	Класс структурн. схож.
9	$\cos\left(\frac{\pi}{2} + 2x\right) = \sqrt{2} \sin x$	(3)
10	$\cos 2x = \sin(x + \frac{\pi}{2})$	
11	$2 \cos\left(\frac{\pi}{2} + x\right) = \sqrt{3} \tan x$	
12	$2 \sin^4 x + 3 \cos 2x + 1 = 0$	(4)
13	$4 \sin^4 2x + 3 \cos 4x - 1 = 0$	
14	$4 \cos^4 x - 4 \cos^2 x + 1 = 0$	
15	$(2 \cos x + 1)(\sqrt{-\sin x} - 1) = 0$	(5)
16	$(2 \sin x - 1)(\sqrt{-\cos x} + 1) = 0$	
17	$\sqrt{\cos^2 x - \sin^2 x} (\tan 2x - 1) = 0$	
18	$\cos^2 x - \frac{1}{2} \sin 2x + \cos x = \sin x$	(6)
19	$\frac{1}{2} \sin 2x + \sin^2 x - \sin x = \cos x$	
20	$\tan x + \cos\left(\frac{3\pi}{2} - 2x\right) = 0$	(7)
21	$\cot x + \cos\left(\frac{\pi}{2} + 2x\right) = 0$	
22	$\frac{2 \sin^2 x - \sin x}{2 \cos x - \sqrt{3}} = 0$	(8)
23	$\frac{2 \sin^2 x - \sin x}{2 \cos x + \sqrt{3}} = 0$	

Таблица 4.3. Корпус, разбивающий уравнения по видам схожести подвыражений

№	Выражение	Класс схож. подвыраж.
1	$\cos\left(\frac{\pi}{2} + 2x\right) = \sqrt{2} \sin x$	(1)
2	$\cot x + \cos\left(\frac{\pi}{2} + 2x\right) = 0$	
3	$(2 \cos x + 1)(\sqrt{-\sin x} - 1) = 0$	(2)
4	$(2 \sin x - 1)(\sqrt{-\cos x} + 1) = 0$	
5	$\sqrt{2} \sin\left(\frac{3\pi}{2} - x\right) \sin x = \cos x$	(3)
6	$2 \sin\left(\frac{7\pi}{2} - x\right) \sin x = \cos x$	
7	$\frac{2 \sin^2 x - \sin x}{2 \cos x - \sqrt{3}} = 0$	(4)
8	$\frac{2 \sin^2 x - \sin x}{2 \cos x + \sqrt{3}} = 0$	

Продолжение табл. 4.3

№	Выражение	Класс схож. подвыраж.
9	$2 \sin^4 x + 3 \cos 2x + 1 = 0$	(5)
10	$4 \cos^4 x - 4 \cos^2 x + 1 = 0$	
11	$\cos^2 x - \frac{1}{2} \sin 2x + \cos x = \sin x$	
12	$\frac{2 \sin^2 x - \sin x}{2 \cos x - \sqrt{3}} = 0$	
13	$\frac{2 \sin^2 x - \sin x}{2 \cos x + \sqrt{3}} = 0$	

Ввиду малого количества выражений в корпусах, алгоритм будет оцениваться лишь с точки зрения точности получаемых результатов. Для этого воспользуемся классической формулой оценки точности:

$$Accuracy = \frac{TP}{TP + FP} \quad (4.1)$$

В формуле 4.1 под TP (true positive) будем понимать количество истинно–положительных первых k найденных уравнений из базы, которые принадлежат к классу запрашиваемого уравнения. FP (false positive) — количество ложно–положительных первых t найденных уравнений из базы, которые принадлежат к классу запрашиваемого уравнения. На k и t вводится ограничение: $k + t = n - 1$, где n — количество уравнений, принадлежащих запрашиваемому уравнению.

Данное ограничение было введено ввиду того, что классы схожести, определенные в корпусах, определяют самые схожие друг с другом уравнения, и не существует точной границы, относящие те или иные уравнения к тому же самому классу.

Ниже приведены примеры подсчета точности поиска алгоритма при поиске структурной схожести и схожести подвыражений на основе формулы 4.1 с учетом описанных выше особенностей.

4.2. Оценка эффективности алгоритма при поиске структурной схожести

Эффективность разработанного алгоритма при поиске структурной схожести оценивалась на одном из составленных корпусов

(табл. 4.2), разделяющим уравнения по классам структурной схожести.

На рис. 4.1 приведен пример подсчета структурной схожести между двумя уравнениями из базы.

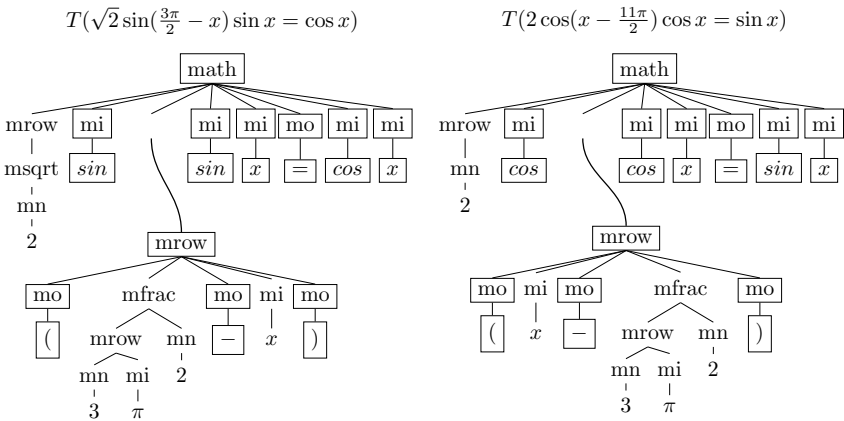


Рисунок 4.1. Подсчет структурной схожести между уравнениями $\sqrt{2} \sin(\frac{3\pi}{2} - x) \sin x = \cos x$ и $2 \cos(x - \frac{11\pi}{2}) \cos x = \sin x$

На рис. 4.1 мы видим что уравнения имеют 20 общих узлов друг с другом. Уравнение слева имеет 34 узла, а уравнение справа — 33. С применение формулы 2.9 получаем $S_{TO} = \frac{20+20}{34+33} = \frac{40}{67} = 0.597$.

В табл. 4.4 приведен результат поиска первых пяти структурно схожих уравнений из базы уравнению $\sqrt{2} \sin(\frac{3\pi}{2} - x) \sin x = \cos x$, принадлежащему к 1-му классу структурно схожих уравнений из корпуса (табл. 4.2).

Поскольку запрашиваемое уравнение принадлежит 1-му классу, а всего уравнений в этом классе 4, то сумма количества истинно-положительных и количества ложно-положительных найденных алгоритмом уравнений не должно превышать $n - 1 = 4 - 1 = 3$, поскольку мы ищем самые схожие уравнения. Точность алгоритма при поиске схожих уравнений 1-му уравнению 1-го класса из корпуса будет определяться по формуле 4.1 и равна: $Accuracy_1^1 = \frac{TP}{TP+FP} = \frac{2}{2+1} = \frac{2}{3} = 0.66$.

Причина того, почему в табл. 4.4 не попало уравнение $-\sqrt{2} \sin(-\frac{5\pi}{2} + x) \sin x = \cos x$ несмотря на то, что оно также было отнесено 1-му классу схожести, будет объяснена ниже в подразделе

Таблица 4.4. Результат поиска первых пяти структурно схожих уравнений из базы уравнению $\sqrt{2} \sin(\frac{3\pi}{2} - x) \sin x = \cos x$, принадлежащему к 1-му классу структурно схожих уравнений

№	Выражение	Кол-во общих узлов	Схож.	Вид
1	$2 \sin(\frac{7\pi}{2} - x) \sin x = \cos x$	60 / 67	0.896	(1)
2	$2 \cos(x - \frac{11\pi}{2}) \cos x = \sin x$	40 / 67	0.597	(1)
3	$2 \cos(\frac{\pi}{2} + x) = \sqrt{3} \tan x$	24 / 63	0.381	(3)
4	$3 \cos 2x - 5 \sin x + 1 = 0$	12 / 60	0.200	(2)
5	$\tan x + \cos(\frac{3\pi}{2} - 2x) = 0$	10 / 67	0.149	(7)

4.4 при анализе результатов.

Вычислим точность поиска структурно схожих уравнений для каждого из уравнений корпуса (табл. 4.5).

Таблица 4.5. Оценка точности структурного поиска

№	Выражение	Точность
1	$\sqrt{2} \sin(\frac{3\pi}{2} - x) \sin x = \cos x$	2/3
2	$2 \cos(x - \frac{11\pi}{2}) \cos x = \sin x$	2/3
3	$2 \sin(\frac{7\pi}{2} - x) \sin x = \cos x$	2/3
4	$-\sqrt{2} \sin(-\frac{5\pi}{2} + x) \sin x = \cos x$	0/3
5	$\cos 2x - 3 \cos x + 2 = 0$	2/3
6	$\cos 2x + 3 \sin x - 2 = 0$	2/3
7	$3 \cos 2x - 5 \sin x + 1 = 0$	1/3
8	$\cos 2x - 5\sqrt{2} \cos x - 5 = 0$	2/3
9	$\cos(\frac{\pi}{2} + 2x) = \sqrt{2} \sin x$	1/2
10	$\cos 2x = \sin(x + \frac{\pi}{2})$	1/2

Продолжение табл. 4.5

№	Выражение	Точность
11	$2 \cos\left(\frac{\pi}{2} + x\right) = \sqrt{3} \tan x$	0/2
12	$2 \sin^4 x + 3 \cos 2x + 1 = 0$	1/2
13	$4 \sin^4 2x + 3 \cos 4x - 1 = 0$	1/2
14	$4 \cos^4 x - 4 \cos^2 x + 1 = 0$	1/2
15	$(2 \cos x + 1)(\sqrt{-\sin x} - 1) = 0$	2/2
16	$(2 \sin x - 1)(\sqrt{-\cos x} + 1) = 0$	2/2
17	$\sqrt{\cos^2 x - \sin^2 x}(\tan 2x - 1) = 0$	2/2
18	$\cos^2 x - \frac{1}{2} \sin 2x + \cos x = \sin x$	0/1
19	$\frac{1}{2} \sin 2x + \sin^2 x - \sin x = \cos x$	0/1
20	$\tan x + \cos\left(\frac{3\pi}{2} - 2x\right) = 0$	1/1
21	$\cot x + \cos\left(\frac{\pi}{2} + 2x\right) = 0$	1/1
22	$\frac{2 \sin^2 x - \sin x}{2 \cos x - \sqrt{3}} = 0$	1/1
23	$\frac{2 \sin^2 x - \sin x}{2 \cos x + \sqrt{3}} = 0$	1/1

По результатам табл. 4.5, точность нахождения структурно схожих уравнений из базы уравнениям из корпуса равна средней точности определения схожих уравнений из базы каждому уравнению из корпуса и равна $Accuracy = \frac{\frac{2}{3} + \frac{2}{3} + \frac{2}{3} + \frac{0}{3} + \dots + \frac{1}{1} + \frac{1}{1}}{23} = \frac{13.85}{23} = 0.6$.

Причина низкой точности и способ ее увеличения при поиске структурной схожести данным алгоритмом будет объяснена при анализе результатов в параграфе 4.4.1.

4.3. Оценка эффективности алгоритма при поиске схожести подвыражений

Эффективность разработанного алгоритма при поиске схожести подвыражений оценивалась на одном из составленных корпусов

(табл. 4.3), разделяющим уравнения по классам схожести подвыражений.

На рис. 4.2 приведен пример подсчета схожести подвыражений между двумя уравнениями из базы.

$$T(\cos(\frac{\pi}{2} + 2x) = \sqrt{2} \sin x)$$

$$T(ctgx + \cos(\frac{\pi}{2} + 2x) = 0)$$

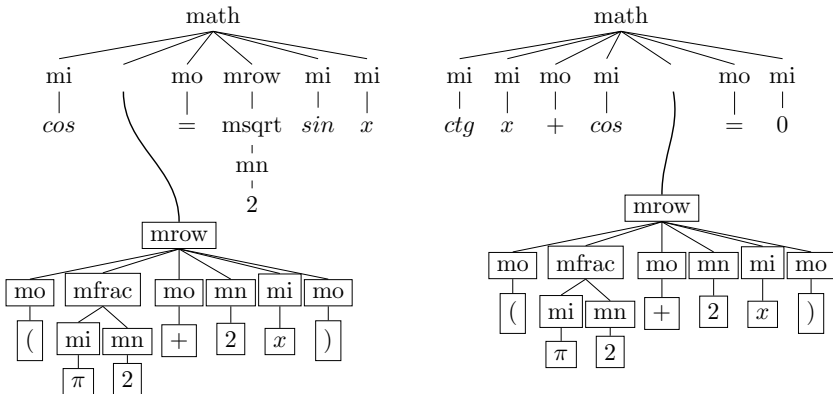


Рисунок 4.2. Подсчет схожести подвыражений между уравнениями $\cos(\frac{\pi}{2} + 2x) = \sqrt{2} \sin x$ и $\operatorname{ctg} x + \cos(\frac{\pi}{2} + 2x) = 0$

На рис. 4.2 мы видим, что уравнения имеют 16 общих узлов друг с другом, образующих общее поддерево. Уравнение слева имеет 29 узлов, а уравнение справа — 30. С применение формулы 2.9 получаем $STO = \frac{16+16}{29+30} = \frac{32}{59} = 0.542$.

В табл. 4.6 приведен результат поиска первых пяти схожих на уровне подвыражений уравнений из базы уравнению $\cos(\frac{\pi}{2} + 2x) = \sqrt{2} \sin x$, принадлежащему к 1-му классу схожих на уровне подвыражений уравнений из корпуса (табл. 4.3).

Поскольку запрашиваемое уравнение принадлежит 5-му классу, а всего уравнений в этом классе 5, то сумма количества истинно-положительных и количества ложно-положительных найденных алгоритмом уравнений не должно превышать $n - 1 = 5 - 1 = 4$, поскольку мы ищем самые схожие уравнения. Точность алгоритма при поиске схожих уравнений 1-му уравнению 5-го класса из корпуса будет определяться по формуле 4.1 и равна: $Accuracy_1^5 = \frac{TP}{TP+FP} = \frac{3}{3+1} = \frac{3}{4} = 0.75$.

Причина того, почему уравнение $4 \sin^4 2x + 3 \cos 4x - 1 = 0$ попа-

Таблица 4.6. Результат поиска первых пяти схожих на уровне подвыражений уравнений из базы уравнению $2 \sin^4 x + 3 \cos 2x + 1 = 0$, принадлежащему к 5-му классу

№	Выражение	Кол-во общих узлов	Схож.	Класс схож. ур-я
1	$4 \cos^4 x - 4 \cos^2 x + 1 = 0$	10/59	0.169	(5)
2	$4 \sin^4 2x + 3 \cos 4x - 1 = 0$	10/60	0.167	
3	$\cos^2 x - \frac{1}{2} \sin 2x + \cos x = \sin x$	10/63	0.159	(5)
4	$\frac{2 \sin^2 x - \sin x}{2 \cos x - \sqrt{3}} = 0$	10/64	0.156	(5)
5	$\frac{2 \sin^2 x - \sin x}{2 \cos x + \sqrt{3}} = 0$	10/64	0.156	(5)

ло в (табл. 4.3) и повлияло на точность результатов, будет изложена ниже в параграфе 4.4.2.

Подсчитаем точность поиска схожих уравнений на уровне подвыражений для каждого из уравнений корпуса (табл. 4.7).

Таблица 4.7. Оценка точности схожести подвыражений

№	Выражение	Точность
1	$\cos(\frac{\pi}{2} + 2x) = \sqrt{2} \sin x$	1/1
2	$\cot x + \cos(\frac{\pi}{2} + 2x) = 0$	1/1
3	$(2 \cos x + 1)(\sqrt{-\sin x} - 1) = 0$	1/1
4	$(2 \sin x - 1)(\sqrt{-\cos x} + 1) = 0$	1/1
5	$\sqrt{2} \sin(\frac{3\pi}{2} - x) \sin x = \cos x$	1/1
6	$\sin(\frac{7\pi}{2} - x) \sin x = \cos x$	1/1
7	$\frac{2 \sin^2 x - \sin x}{2 \cos x - \sqrt{3}} = 0$	1/1
8	$\frac{2 \sin^2 x - \sin x}{2 \cos x + \sqrt{3}} = 0$	1/1

Продолжение табл. 4.7

№	Выражение	Точность
9	$2 \sin^4 x + 3 \cos 2x + 1 = 0$	4/5
10	$4 \cos^4 x - 4 \cos^2 x + 1 = 0$	4/5
11	$\cos^2 x - \frac{1}{2} \sin 2x + \cos x = \sin x$	4/5
12	$\frac{2 \sin^2 x - \sin x}{2 \cos x - \sqrt{3}} = 0$	5/5
13	$\frac{2 \sin^2 x - \sin x}{2 \cos x + \sqrt{3}} = 0$	5/5

По результатам табл. 4.7, точность нахождения схожих на уровне подвыражений из базы уравнений из корпуса равна средней точности определения схожих уравнений из базы каждому уравнению из корпуса и равна $Accuracy = \frac{\frac{1}{1} + \frac{1}{1} + \dots + \frac{4}{5} + \frac{5}{5} + \frac{5}{5}}{13} = \frac{12.4}{13} = 0.95$.

4.4. Анализ результатов оценки эффективности алгоритма

4.4.1. Анализ результатов по оценке алгоритма при поиске структурной схожести

В подразделе 4.2 была определена точность алгоритма при поиске структурной схожести и составила 0.6%. Такой низкой точности послужила особенность в синтаксической конструкции выражений, представленных в формате MathML, по которым производился поиск структурной схожести.

Рассмотрим уравнения $\sqrt{2} \sin\left(\frac{3\pi}{2} - x\right) \sin x = \cos x$ и $-\sqrt{2} \sin\left(-\frac{5\pi}{2} + x\right) \sin x = \cos x$, принадлежащие к 1-му классу структурной схожести по разработанному корпусу. В результате поиска по разработанному алгоритму, схожести между ними замечено не было (рис. 4.3).

Согласно паттерну структурной схожести выражений 2.1, для того, чтобы выражения были структурно схожи, они должны иметь общие самые верхние узлы с одинаковым названием и одинаковыми правилами перехода к последующим узлам. У самых верхних узлов на

$$T(\sqrt{2} \sin\left(\frac{3\pi}{2} - x\right) \sin x = \cos x)$$

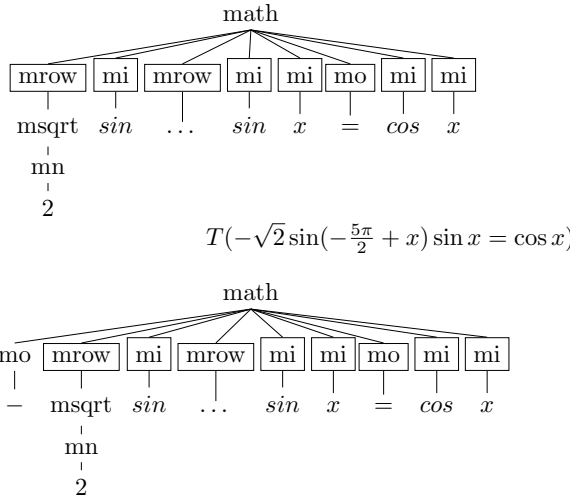


Рисунок 4.3. Подсчет структурной схожести между уравнениями $\sqrt{2} \sin\left(\frac{3\pi}{2} - x\right) \sin x = \cos x$ и $-\sqrt{2} \sin\left(-\frac{5\pi}{2} + x\right) \sin x = \cos x$

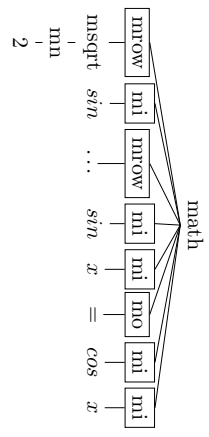
рис. 4.3 разное количество последующих узлов и, как следствие, различные правила перехода. Ввиду этого, несмотря на визуально схожую структуру и отнесению экспертами уравнений $\sqrt{2} \sin\left(\frac{3\pi}{2} - x\right) \sin x = \cos x$ и $-\sqrt{2} \sin\left(-\frac{5\pi}{2} + x\right) \sin x = \cos x$ к одному классу структурной схожести, в ходе выполнения поиска по разработанному алгоритму их структурная схожесть не определяется.

На рис. 4.4 можно увидеть рассматриваемые уравнения в двух разных видах — изначальном (T_1 и T_2) и имеющим другую структурную конструкцию (T'_1 и T'_2), но визуально и семантически представляемых одинаково. Тем не менее, их синтаксическая схожесть в изначальном представлении не будет определена, а в модифицированном будет равна 0.44.

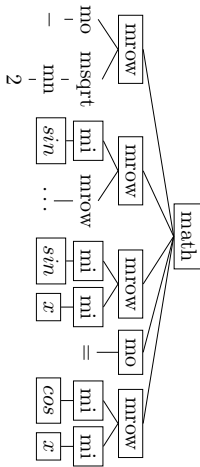
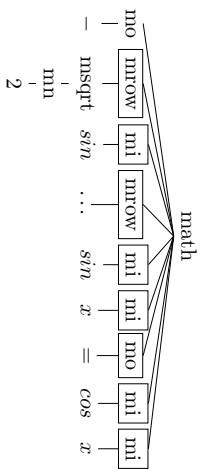
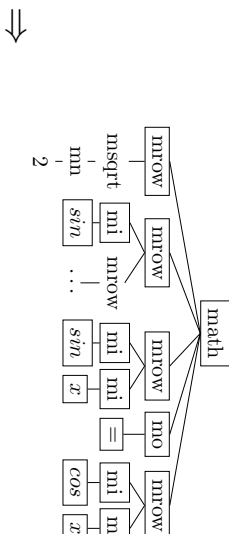
С целью выявления синтаксической схожести выражений, имеющих разное количество узлов, начиная от коренных узлов (пример: выражения T_1 и T_2 на рис. 4.4), данные выражения необходимо предварительно преобразовать (пример: выражения T'_1 и T'_2 на рис. 4.4),

$$T_1(\sqrt{2} \sin(\frac{3\pi}{2} - x) \sin x = \cos x)$$

$$T'_1(\sqrt{2} \sin(\frac{3\pi}{2} - x) \sin x = \cos x)$$



$$T_2(-\sqrt{2} \sin(-\frac{5\pi}{2} + x) \sin x = \cos x)$$



$$Sto(T_1, T_2) = \frac{0+0}{34+38} = \frac{0}{72} = 0$$

$$Sto(T'_1, T'_2) = \frac{17+17}{37+41} = \frac{34}{78} = 0.44$$

Рисунок 4.4. Пример перехода от одних сравниваемых выражений к другим, имеющим другую синтаксическую структуру но эквивалентным изначальным с точки зрения визуального представления и семантического смысла с целью поиска их синтаксической схожести

выделяя необходимые конструкции в выражениях в отдельные подвыражения. Для этого предлагается один из следующих подходов:

1. выбрать другой конвертер для конвертации выражений из L^AT_EX в формат MathML, который бы выделял необходимые конструкции в отдельные подвыражения;
2. при конвертации выражений из формата L^AT_EX в формат MathML используемым конвертером [14] нарочно добавлять фигурные скобки, ограничивающие конструкции, которые должны быть выделены в подвыражения: этот способ и был использован на рис. 4.4;
 - $\$ \sqrt{2} \sin(\frac{3\pi}{2} - x) \sin x = \cos x \$ \Rightarrow \$ \{\sqrt{2}\} \{\sin(\frac{3\pi}{2} - x)\} \{\sin x\} = \{\cos x\} \$$
 - $\$ -\sqrt{2} \sin(\frac{5\pi}{2} + x) \sin x = \cos x \$ \Rightarrow \$ \{-\sqrt{2}\} \{\sin(\frac{5\pi}{2} + x)\} \{\sin x\} = \{\cos x\} \$$
3. производить анализ выражения, уже представленного в формате MathML, и по определенному алгоритму выделять необходимые конструкции в подвыражения: данный вариант является более перспективным в силу того, что уже существующие выражения, представленные в MathML, не нужно будет пересоздавать заново.

После анализа особенности представления выражений в формате MathML были внесены поправки во все выражения из базы перед конвертацией их из L^AT_EX в формат MathML с помощью 2-ого подхода. После этого структурный поиск при повторном тестировании на том же корпусе был абсолютно точен и составил 100%.

4.4.2. Анализ результатов по оценке алгоритма при поиске схожести подвыражений

На ухудшение точности поиска подвыражений в подразделе 4.3 повлияло уравнение, найденное вторым в табл. 4.3, которое не относилось к тому же классу схожести подвыражений запрашиваемого

уравнения. Такой результат был получен ввиду того, что одно и то же уравнение может содержать несколько подвыражений, которые могут в свою очередь быть общими с подвыражениями разных уравнений. Рассмотрим запрашиваемое уравнение подробнее:

$$\bullet \quad 2 \sin^4 x + 3 \cos 2x + 1 = 0$$

Серым цветом обозначена область, которая повлияла на мнение экспертов, которые составляли корпус, чтобы отнести уравнение к определенному классу схожести подвыражений. В тоже время не было учтено то, что у того же самого уравнения есть другое подвыражение, выделенное в рамку, которое также может отнести уравнение и к другому классу схожести. При поиске и произошла подобная ситуация:

$$\bullet \quad 2 \sin^4 x + 3 \cos 2x + 1 = 0$$

$$\bullet \quad 4 \sin^4 2x + 3 \cos 4x - 1 = 0$$

Второе уравнение схоже с первым в подвыражении, выделенным в рамку, а не в подвыражении, выделенным серым цветом. В силу этой особенности точность поиска схожести подвыражений алгоритма на составленном корпусе составила 0.95%.

4.5. Общие выводы относительно полученных результатов и рекомендации по применению алгоритма

Оценка точности поиска разработанным алгоритмом содержала ряд трудностей, изложенных в параграфах 4.4.1 и 4.4.2. Тем не менее, после внесения ряда изменений с учетом этих особенностей, алгоритм показал высокую точность поиска структурной схожести и схожести подвыражений между заданным выражением и базой выражений (табл. 4.1) на составленных корпусах (табл. 4.2 и табл. 4.3).

Полученные результаты относительно эффективности разработанного алгоритма можно считать успешными, и позволяют рекомендовать данный алгоритм к встраиванию в поисковые системы, нацеленные на работу с математической нотацией в формате MathML с разметкой Presentation Markup.

Преимущества данного алгоритма перед существующими [1], [2] по поиску синтаксической схожести между математическими выражениями, представленными в формате MathML:

- разделяет синтаксическую схожесть на подвиды (структурная схожесть и схожесть подвыражений) и позволяет ее находить;
- позволяет получить дополнительную информацию о схожих выражениях, такую как: кол-во общих узлов, коренной узел общей области, является ли эта общая область поддеревом;
- производит предварительную индексацию корпуса деревьев, по которым будет производиться поиск с целью ускорения поиска, которая также присутствует только в одной [1] из двух исследованных реализаций.

Можно привести следующие направления для дальнейшего развития алгоритма:

- введение весов на узлы деревьев выражений для выделения значимости тех или иных областей при поиске схожести подвыражений;
- расширение области его применения до поиска схожести между математическими выражениями, представленными в формате MathML с разметкой Content Markup;
- визуальное представление схожести выражений при отображении выражений.

ЗАКЛЮЧЕНИЕ

В данной работе определены паттерны синтаксической схожести между выражениями, представленными в формате MathML. Был модифицирован существующий алгоритм нахождения схожести между упорядоченными ориентированными деревьями для адаптации его к поиску синтаксически схожих математических выражений. Было разработано программное обеспечение, реализующее поиск схожих математических выражений на основе модифицированного алгоритма.

Для проверки эффективности разработанного алгоритма, тестирование полученных результатов проводилось на корпусах, составленных, из уравнений, взятых с сайта для подготовки абитуриентов к сдаче единого государственного экзамена. В ходе тестирования обнаружилась особенность в инвариантности древовидного представления математических выражений после их конвертации из формата L^AT_EX в формат MathML. В силу этого, при определенной структуре тестируемых выражений, алгоритм демонстрирует средние результаты по поиску, в остальных случаях алгоритм с высокой степенью точности определяет схожие выражения. Анализ результатов тестирования позволил выявить направления для дальнейшего совершенствования алгоритма.

К отличительным особенностям данного алгоритма можно отнести возможность задавать тип схожести (структурная схожесть или схожесть подвыражений) при поиске синтаксической схожести между выражениями.

Разработанный алгоритм может применяться в системах автоматизации сортировки схожих математических выражений для пополнения их к уже существующей базе примеров, системах по составлению тестовых заданий или задачников по математике, поиске схожих математических выражений по шаблону.

СПИСОК ИСПОЛЬЗОВАННЫХ ИСТОЧНИКОВ

1. Yokoi Keisuke, Aizawa Akiko. An approach to similarity search for mathematical expressions using MathML // Towards a Digital Mathematics Library. Grand Bend, Ontario, Canada, July 8-9th, 2009. — 2009. — P. 27–35.
2. Sain Kunal, Dasgupta Abhishek, Garain Utpal. EMERS: a tree matching-based performance evaluation of mathematical expression recognition systems // International Journal on Document Analysis and Recognition (IJDAR). — 2011. — Vol. 14, no. 1. — P. 75–85.
3. World Wide Web Consortium (W3C) and International Digital Publishing Forum. — <http://www.w3.org/TR/MathML2/overview.html>.
4. Zhang Kaizhong, Shasha Dennis. Simple fast algorithms for the editing distance between trees and related problems // SIAM journal on computing. — 1989. — Vol. 18, no. 6. — P. 1245–1262.
5. Klein Philip N. Computing the edit-distance between unrooted ordered trees. — 1998. — P. 91–102.
6. An optimal decomposition algorithm for tree edit distance / Erik D Demaine, Shay Mozes, Benjamin Rossman, Oren Weimann // ACM Transactions on Algorithms (TALG). — 2009. — Vol. 6, no. 1. — P. 2.
7. Pawlik Mateusz, Augsten Nikolaus. RTED: a robust algorithm for the tree edit distance // Proceedings of the VLDB Endowment. — 2011. — Vol. 5, no. 4. — P. 334–345.
8. Efficient sentence retrieval based on syntactic structure / Ichikawa Hiroshi, Hakoda Keita, Hashimoto Taiichi, Tokunaga Takenobu. — 2006. — P. 399–406.
9. Collins Michael, Duffy Nigel, Park Florham. Parsing with a single neuron: Convolution kernels for natural language problems. — 2001.
10. Bod Rens. Beyond grammar // An Experienced-Based Theory of Language. CSLI Lecture Notes. — 1998. — Vol. 88.
11. The Wolfram Functions Site, Wolfram Research Inc. — <http://functions.wolfram.com>.
12. Garain Utpal. Automatic recognition of printed and handwritten mathematical expressions. — 2005.
13. Kamali Shahab, Tompa Frank Wm. Improving mathematics re-

- trieval // Towards a Digital Mathematics Library. Grand Bend, Ontario, Canada, July 8-9th, 2009. — 2009. — P. 37–48.
14. Convert LaTeX to Presentation MathML. — URL: <https://www.mathtowebonline.com>.
 15. РЕШУ ЕГЭ. Образовательный портал для подготовки к экзаменам. — URL: <https://math-ege.sdamgia.ru>.

ПРИЛОЖЕНИЕ А

ТЕКСТ ПРОГРАММЫ

Листинг А.1. Исходный код класса SearchEngine

```
1 package searchengine;
2
3 import additional.Pair;
4 import entities.IdxNode;
5 import entities.MathMLTree;
6 import entities.ProductionRule;
7 import entities.PRwithIdxNodes;
8 import entities.Sto;
9 import java.util.ArrayList;
10 import java.util.Collections;
11 import java.util.Comparator;
12 import java.util.Enumeration;
13 import java.util.HashMap;
14 import java.util.Iterator;
15 import java.util.LinkedHashMap;
16 import java.util.List;
17 import java.util.Map;
18
19
20
21 public class SearchEngine {
22
23     private List<PRwithIdxNodes<String>> corpusIdxTable;
24     private List<PRwithIdxNodes<String>> queryIdxTable;
25     private List<MathMLTree> corpusTrees;
26     private MathMLTree queryTree;
27
28     private ArrayList<Sto> StoList;
29
30
31     public static enum StoOrder {
32         SIMILARITY,
33         TREEID;
34     }
35
36     public ArrayList<Sto> getStoList(StoOrder order) {
37
38         switch(order) {
39             case SIMILARITY:
40                 Collections.sort(StoList, new Comparator<Sto>() {
41                     @Override
42                     public int compare(Sto o1, Sto o2) {
43                         if (o1.simValue() < o2.simValue()) return -1;
44                         if (o1.simValue() > o2.simValue()) return 1;
45                         return 0;
46                     }
47                 });
48                 break;
49             case TREEID:
```

```

50         Collections.sort(StoList, new Comparator<Sto>() {
51             @Override
52             public int compare(Sto o1, Sto o2) {
53                 return o1.tr2.getTreeID() - o2.tr2.getTreeID();
54             }
55         });
56     }
57     Collections.reverse(StoList);
58
59
60     return this.StoList;
61 }
62
63
64     public void printStoList(StoOrder order) {
65         if(StoList.isEmpty())
66             System.out.println("StoList is empty!");
67
68         switch(order) {
69             case SIMILARITY:
70                 Collections.sort(StoList, new Comparator<Sto>() {
71                     @Override
72                     public int compare(Sto o1, Sto o2) {
73                         if (o1.simValue() < o2.simValue()) return -1;
74                         if (o1.simValue() > o2.simValue()) return 1;
75                         return 0;
76                     }
77                 });
78             break;
79             case TREEID:
80                 Collections.sort(StoList, new Comparator<Sto>() {
81                     @Override
82                     public int compare(Sto o1, Sto o2) {
83                         return o1.tr2.getTreeID() - o2.tr2.getTreeID();
84                     }
85                 });
86             //do nothing
87         }
88
89
90
91
92         for(Sto s : StoList)
93             s.print(Sto.ViewStyle.OVERLAYNODES);
94     }
95
96
97
98
99     public SearchEngine(MathMLTree quTree) {
100         this.corpusIdxTable = new ArrayList<>();
101         this.queryIdxTable = new ArrayList<>();
102         this.corpusTrees = new ArrayList<>();
103         this.queryTree = null;
104         this.StoList = new ArrayList<>();
105
106         setQueryTree(quTree);
107     }

```

```

108
109     public SearchEngine() {
110         this.corpusIdxTable = new ArrayList<>();
111         this.queryIdxTable = new ArrayList<>();
112         this.corpusTrees = new ArrayList<>();
113         this.queryTree = null;
114         this.StoList = new ArrayList<>();
115     }
116
117
118
119
120     public void setQueryTree(MathMLTree quTree) {
121         quTree.setTreeIDSameForAllTree(0); // changed!!!
122         this.queryTree = quTree;
123         addTreeToIndexTable(quTree, queryIdxTable);
124     }
125
126     // добавляются в порядке возрастания индекса дерева!
127     public void addCorpusTree(MathMLTree corpTree) {
128
129         if(corpTree.getTreeID() != 0)
130             corpTree.setTreeIDSameForAllTree(corpusTrees.size() + 1);
131             // changed!!!
132
133         corpusTrees.add(corpTree);
134         this.addTreeToIndexTable(corpTree, corpusIdxTable);
135     }
136
137     public MathMLTree getTreeFromCorpusTreesByIndexNode(IdxNode<String>
138             idxNode, List<MathMLTree> cTrs) {
139         for(MathMLTree tr : cTrs)
140             if(tr.getTreeID() == idxNode.getTreeID())
141                 return tr;
142
143         return null;
144     }
145
146     private void addTreeToIndexTable(MathMLTree tree, List<
147             PRwithIdxNodes<String>> idxTbl) {
148
149         /*
150             Алгоритм:
151             1. Проходимся по всем узлам в ширину
152             2. Prod Rule текущего узла в таблице:
153                 если есть ->
154                     Corp Node текущего узла в списке Corp Node этого PR
155                     если есть -> не добавляем
156                     если нету -> добавляем
157                     если нету ->
158                         а) добавляем PR
159                         б) добавляем к PR текущий узел
160
161         */
162
163         MathMLTree node; // текущий узел
164         ProductionRule<String> PR; // текущий PR узла
165         IdxNode<String> CN; // текущий CN узла

```

```

162     boolean hasPR;           // нащелся ли в таблице индексов PR
163     //зла
164
165     // проходимся по всем элементам дерева в ширину
166     for(Enumeration e = tree.breadthFirstEnumeration(); e.
167         hasMoreElements();) {
168
169         node = (MathMLTree)e.nextElement();
170         PR = new ProductionRule<>(node);
171         CN = new IIdxNode<>(node);
172         hasPR = false;
173
174         // проходимся по Index Table
175         for (PRwithIdxNodes<String> corpIdx : idxTbl)
176             if(corpIdx.getPR().equals(PR)) {
177                 hasPR = true;
178                 if(containIdenticalInCorpusTreeNodes(corpIdx.
179                     getIdxNodes(), CN))
180                     break;
181                 else {
182                     corpIdx.getIdxNodes().add(CN);
183                     break;
184                 }
185
186             if(!hasPR) {
187                 PRwithIdxNodes<String> newCorpIdx = new PRwithIdxNodes
188                     <>(PR);
189                 newCorpIdx.add_topCorpusTreeNode(CN);
190                 idxTbl.add(newCorpIdx);
191             }
192         }
193
194     }
195
196     // получаем списочек Cto
197     public Map<Pair<IdxNode<String>, IIdxNode<String>>, Pair<Integer,
198         Integer>>
199         calculateCtoList(MathMLTree qTr, List<PRwithIdxNodes<String>>
200             qIdxTable,
201             List<MathMLTree> cTrs, List<PRwithIdxNodes<String>>
202             corpIdxTable) {
203
204         Map<Pair<IdxNode<String>, IIdxNode<String>>, Pair<Integer,
205             Integer>>
206             Cto = new LinkedHashMap<>();
207
208         for(PRwithIdxNodes<String> qPRwNodes : qIdxTable)
209             for(PRwithIdxNodes<String> cPRwNodes : corpIdxTable)
210                 if(qPRwNodes.getPR().equals(cPRwNodes.getPR()))
211                     for(IdxNode<String> qIdxNode : qPRwNodes.
212                         getIdxNodes())
213                         for(IdxNode<String> cIdxNode : cPRwNodes.
214                             getIdxNodes())
215                             if(qIdxNode.equals(IdxNode.Content.
216                                 label_leavesCount, cIdxNode)) {

```

```

209
210
211
212
213
214 //           printTopColumn(qPRwNodes.getPR() .
215 //           getStringView(),
216 //           qIdxNode.getStringView(
217 //           IdxNode.Content.label_repeatingID, true),
218 //           cIdxNode.getStringView(
219 //           IdxNode.Content.label_repeatingID, true),
220 //           ((IdxNode)topNM.n).
221 //           getStringView(IdxNode.Content.label_repeatingID, true),
222 //           ((IdxNode)topNM.m).
223 //           getStringView(IdxNode.Content.label_repeatingID, true),
224 //           (qIdxNode.getLeavesCount() ==
225 //           0));
226
227
228
229
230
231
232
233
234
235
236
237
238
239
240
241
242
243
244
245
246
247
248
249
250
251
    MathMLTree cTr =
        getTreeFromCorpusTreesByIndexNode(
            cIdxNode, cTrs);
    Pair topNM = topIndexNode(qIdxNode, qTr,
        , cIdxNode, cTr);

    // сколько раз встретился корень дерева
    int leavesCover = 0;
    // сколько раз встретился узел
    int overlap = 0;
    boolean leafCover = (qIdxNode.
        getLeavesCount() == 0) &&
        (((IdxNode)topNM.n).
        getLeavesCount() != 0);

    if(Cto.containsKey(topNM)) {
        overlap = Cto.get(topNM).n + 1;
        if(leafCover)
            leavesCover = Cto.get(topNM).m
            + 1;
        else
            leavesCover = Cto.get(topNM).m;
    }
    else {
        overlap = 1;
        if(leafCover)
            leavesCover = 1;
        else
            leavesCover = 0;
    }

    // без проверки того, сколько листьев на
    // алонено
    Cto.put(topNM, new Pair(overlap,
        leavesCover));
}

return Cto;
}

// RECURSIVE METHOD!

```

```

252     public Map<Pair<IdxNode<String>, IdxNode<String>>, Pair<Integer,
253         Integer>>
254         Cto_to_CtoSubrList(MathMLTree tr0, MathMLTree tr1,
255             IdxNode idxNode1, IdxNode idxNode2,
256             Map<Pair<IdxNode<String>, IdxNode<String>>, Pair<Integer,
257                 Integer>> CtoSubrCollector) {
258             //System.out.println("RECURSIVE METHOD: Cto_to_CtoSubrList");
259
260             // получаем поддеревья, начинавшиеся с узлов idxNode1 и
261             // idxNode2
262             MathMLTree t0 = (MathMLTree) tr0.getNodeByBreadthOrderIndex(
263                 idxNode1.getBreadthPosInTree());
264             MathMLTree t1 = (MathMLTree) tr1.getNodeByBreadthOrderIndex(
265                 idxNode2.getBreadthPosInTree());
266
267             // копируем поддеревья
268             MathMLTree t0_subtr = MathMLTree.fromMathMLTree(t0);
269             MathMLTree t1_subtr = MathMLTree.fromMathMLTree(t1);
270
271             // изменяем корни поддеревьев, чтобы Cto в них еще раз не было
272             t0_subtr.setLabel("XYZ");
273             t1_subtr.setLabel("RTV");
274
275             // делаем таблицу индексов для поддеревьев
276             List<PRwithIdxNodes<String>> t0SubrIdxTable = new ArrayList
277                 <>();
278             List<PRwithIdxNodes<String>> t1SubrIdxTable = new ArrayList
279                 <>();
280             addTreeToIndexTable(t0_subtr, t0SubrIdxTable);
281             addTreeToIndexTable(t1_subtr, t1SubrIdxTable);
282
283             // ... для метода
284             List<MathMLTree> t1_subtr_list = new ArrayList<>();
285             t1_subtr_list.add(t1_subtr);
286
287             // получаем список новых Cto
288             Map<Pair<IdxNode<String>, IdxNode<String>>, Pair<Integer,
289                 Integer>>
290                 CtoList = calculateCtoList(t0_subtr,
291                     t0SubrIdxTable, t1_subtr_list,
292                     t1SubrIdxTable);
293
294             for(Iterator<Map.Entry<Pair<IdxNode<String>, IdxNode<String>>,
295                 Pair<Integer, Integer>>>
296                 it = CtoList.entrySet().iterator(); it.hasNext(); ) {
297                 Map.Entry<Pair<IdxNode<String>, IdxNode<String>>, Pair<
298                     Integer, Integer>>
299                     Cto = it.next();
300
301                     if(Cto.getValue().m != Cto.getKey().n.getLeavesCount()) {
302                         Cto_to_CtoSubrList(t0_subtr, t1_subtr, Cto.getKey().n,
303                             Cto.getKey().m, CtoSubrCollector);
304                         it.remove();
305                     } else {
306                         CtoSubrCollector.put(Cto.getKey(), Cto.getValue());
307                     }
308             }

```

```

297     }
298
299
300
301     return CtoList;
302 }
303
304
305     // схема структурной схожести
306     public void calculateStructuralSimilarity() {
307
308
309         Map<Pair<IdxNode<String>, IdxNode<String>>, Pair<Integer,
310             Integer>> CtoList;
311         // Cto (с теми узлами, которые подходят по покрытию листьев)
312         Map<Pair<IdxNode<String>, IdxNode<String>>, Integer>
313             Cto_WithoutLeaveInfo = new HashMap<>();
314
315         // key      = pair (number of 1-st tree,
316         //                   number of 2-st tree)
317         // value    = pair (overlap,
318         //                   pair (idxNode of 1-st tree,
319         //                         idxNode of 2-nd tree)
320         Map<Pair<Integer, Integer> ,
321             Pair <Integer, Pair<IdxNode<String>, IdxNode<String>>>>
322             StoRoot = new HashMap<>();
323
324
325         // Cto - классическое Cto по алгоритму из статьи
326         CtoList = calculateCtoList(queryTree, queryIdxTable,
327             corpusTrees, corpusIdxTable);
328
329
330         // Cto_WithoutLeaveInfo <- Cto
331         for(Map.Entry<Pair<IdxNode<String>, IdxNode<String>>, Pair<
332             Integer, Integer>> entry
333             : CtoList.entrySet())
334             Cto_WithoutLeaveInfo.put(entry.getKey(), entry.
335                 getValue().n);
336
337
338         // Sto_Subtr - наибольшее по Cto_Subtr
339         for(Map.Entry<Pair<IdxNode<String>, IdxNode<String>>, Integer>
340             entry
341             : Cto_WithoutLeaveInfo.entrySet()) {
342
343             int NtrID = entry.getKey().n.getTreeID();
344             int MtrID = entry.getKey().m.getTreeID();
345             Pair pairTrID = new Pair(NtrID, MtrID);
346
347             if(entry.getKey().m.getLabel().equals("math"))
348                 StoRoot.put(pairTrID, new Pair(entry.getValue(), entry.
349                     getKey()));
350         }
351
352         // записываем результаты в отдельный объект для этого

```

```

346     for(Map.Entry<Pair<Integer, Integer>, Pair<Integer, Pair<
347         IdxNode<String>, IdxNode<String>>> entry
348             : StoRoot.entrySet()) {
349
350         Sto sim = new Sto(
351             entities.Sto.Type.STRUCTURAL,
352             queryTree,
353             entry.getValue().m.n,
354             getTreeFromCorpusTreesByIndexNode(entry.getValue().m.m,
355                 corpusTrees),
356             entry.getValue().m.m,
357             entry.getValue().n);
358
359         this.StoList.add(sim);
360     }
361
362     addALLMissedStoToStoList(Sto.Type.STRUCTURAL);
363
364
365     private void addALLMissedStoToStoList(Sto.Type type) {
366
367
368         for(MathMLTree tr : corpusTrees) {
369             boolean hasSto = false;
370             for(Sto Sto : StoList)
371                 if(Sto.tr2.getTreeID() == tr.getTreeID())
372                     hasSto = true;
373
374             if(!hasSto)
375                 StoList.add(new Sto(type, queryTree, tr));
376         }
377
378
379
380
381     // схожесть подвыражений
382     public void calculateSubExprSimilarity() {
383
384
385         Map<Pair<IdxNode<String>, IdxNode<String>>, Pair<Integer,
386             Integer>> CtoList;
387         // Cto (c теми узлами, которые подходят по покрытию листьев)
388         Map<Pair<IdxNode<String>, IdxNode<String>>, Integer> Cto_Subtr =
389             new HashMap<>();
390
391         // key      = pair (number of 1-st tree,
392         //                   number of 2-st tree)
393         // value    = pair (overlap,
394         //                   pair (idxNode of 1-st tree,
395         //                         idxNode of 2-nd tree)
396         Map<Pair<Integer, Integer>,
397             Pair <Integer, Pair<IdxNode<String>, IdxNode<String>>>>
398             Sto_Subtr = new HashMap<>();
399
400         Map<Pair<IdxNode<String>, IdxNode<String>>, Pair<Integer,
401             Integer>> Cto_subtr_collector = new LinkedHashMap<>();

```

```

398
399
400 // Cto – классическое Cto по алгоритму из статьи
401 CtoList = calculateCtoList(queryTree, queryIdxTable,
402     corpusTrees, corpusIdxTable);
403
404 // ПЕКУРСИВНО заменяем Cto, которые не покрывают поддерево
405 for(Map.Entry<Pair<IdxNode<String>, IdxNode<String>>, Pair<
406     Integer, Integer>> Cto
407         : CtoList.entrySet()) {
408
409     if(Cto.getValue().m != Cto.getKey().n.getLeavesCount()) {
410         MathMLTree qTr = queryTree;
411         MathMLTree cTr = getTreeFromCorpusTreesByIndexNode(Cto.
412             getKey().m, corpusTrees);
413         Cto_to_CtoSubtrList(queryTree, cTr, Cto.getKey().n, Cto.
414             getKey().m, Cto_subtr_collector);
415     } else {
416         Cto_subtr_collector.put(Cto.getKey(), Cto.getValue());
417     }
418
419 // Cto_Subtr – Cto, которые подходят по покрытию (тут должны по
420 //ходить все)
421 for(Map.Entry<Pair<IdxNode<String>, IdxNode<String>>, Pair<
422     Integer, Integer>> entry
423         : Cto_subtr_collector.entrySet())
424     if(entry.getValue().m == entry.getKey().n.getLeavesCount())
425         Cto_Subtr.put(entry.getKey(), entry.getValue().n);
426
427 // Sto_Subtr – наибольшее по Cto_Subtr
428 for(Map.Entry<Pair<IdxNode<String>, IdxNode<String>>, Integer>
429     entry
430         : Cto_Subtr.entrySet()) {
431
432     int NtrID = entry.getKey().n.getTreeID();
433     int MtrID = entry.getKey().m.getTreeID();
434     Pair pairTrID = new Pair(NtrID, MtrID);
435     int overlap = entry.getValue();
436
437     if(Sto_Subtr.containsKey(pairTrID)) {
438         if(Sto_Subtr.get(pairTrID).n < overlap)
439             Sto_Subtr.put(pairTrID, new Pair(overlap, entry.
440                 getKey()));
441     } else {
442         Sto_Subtr.put(pairTrID, new Pair(overlap, entry.getKey()
443                         ()));
444     }
445
446 // записываем результаты в отдельный объект для этого
447 for(Map.Entry<Pair<Integer, Integer>, Pair<Integer, Pair<
448     IdxNode<String>, IdxNode<String>>> entry
449         : Sto_Subtr.entrySet()) {

```

```

446
447     Sto sim = new Sto(
448         entities.Sto.Type.SUBEXPRESSION,
449         queryTree,
450         entry.getValue().m.n,
451         getTreeFromCorpusTreesByIndexNode(entry.getValue().
452             m.m, corpusTrees),
453         entry.getValue().m.m,
454         entry.getValue().n);
455
456     this.StoList.add(sim);
457 }
458
459
460
461
462
463 private void printTopColumn(String PR, String n, String m, String
464 topN, String topM, boolean getLC) {
465
466     System.out.print(PR);
467     System.out.print(" : (");
468     System.out.print(n);
469     System.out.print(",");
470     System.out.print(m);
471     System.out.print(")");
472
473     System.out.print(" top(");
474     System.out.print(topN);
475     System.out.print(",");
476     System.out.print(topM);
477     System.out.print(")");
478     System.out.println(" (" + getLC + ")");
479
480
481
482
483 private void printCto_SubtrList(Map<Pair<IdxNode<String>, IdxNode<
484 String>>, Integer> Cto) {
485
486     System.out.println("CtoList_Subtr: ");
487     for(Map.Entry<Pair<IdxNode<String>, IdxNode<String>>, Integer>
488         entry : Cto.entrySet()) {
489         System.out.print("(");
490         System.out.print(entry.getKey().n.getStringView(IdxNode.
491             Content.
492             label_treeID_repeatID_leavesCount_breadthPosInTree,
493             true));
494         System.out.print(",");
495         System.out.print(entry.getKey().m.getStringView(IdxNode.
496             Content.
497             label_treeID_repeatID_leavesCount_breadthPosInTree,
498             true));
499         System.out.print(" )");
500         System.out.println("overlap: " + entry.getValue());
501     }

```

```

494     }
495
496
497     private void printCtoList(Map<Pair<IdxNode<String>, IdxNode<String>
498         >>, Pair<Integer, Integer>> preCto) {
499
500         System.out.println("CtoList: ");
501
502         for(Map.Entry<Pair<IdxNode<String>, IdxNode<String>>, Pair<
503             Integer, Integer>> entry
504                 : preCto.entrySet()) {
505             System.out.print("(");
506             System.out.print(entry.getKey().n.getStringView(IdxNode.
507                 Content.
508                 label_treeID_repeatID_leavesCount_breadthPosInTree,
509                 true));
510             System.out.print(",");
511             System.out.print(entry.getKey().m.getStringView(IdxNode.
512                 Content.
513                 label_treeID_repeatID_leavesCount_breadthPosInTree,
514                 true));
515             System.out.print(" ");
516             System.out.print("overlap: " + entry.getValue().n);
517             System.out.print(", leavesCover: " + entry.getValue().m);
518             System.out.println(" / " + entry.getKey().n.getLeavesCount
519                 ());
520         }
521     }
522
523
524     // n - узел дерева tr_n
525     // m - узел дерева tr_m
526     public Pair<IdxNode<String>, IdxNode<String>>
527         topIndexNode(IdxNode<String> n, MathMLTree tr_n,
528             IdxNode<String> m, MathMLTree tr_m) {
529
530         if(!n.equals(IdxNode.Content.label, m)) {
531             System.err.println("Имена начальных узлов не совпадают!");
532             return null;
533         }
534
535         MathMLTree N = (MathMLTree) tr_n.getNodeByBreadthOrderIndex(n.
536             getBreadthPosInTree());
537         MathMLTree M = (MathMLTree) tr_m.getNodeByBreadthOrderIndex(m.
538             getBreadthPosInTree());
539
540         if(!N.getLabel().equals(n.getLabel()))
541             System.err.println("Имена index node и узла в дереве на сов
542                 падают!");
543         if(!M.getLabel().equals(m.getLabel()))
544             System.err.println("Имена index node и узла в дереве на сов
545                 падают!");
546
547         if(N.isRoot() || M.isRoot())
548

```

```

539         return new Pair(n,m);
540
541
542     Pair<MathMLTree, MathMLTree> NM      = new Pair<>(N, M);
543     Pair<MathMLTree, MathMLTree> newNM   = top(N, M);
544
545
546     while(!NM.equals(newNM)) {
547         NM = newNM;
548         newNM = top(NM.n, NM.m);
549     }
550
551
552     Pair p = new Pair<>(new IdxNode(NM.n),
553                             new IdxNode(NM.m));
554
555
556     return p;
557 }
558
559
560 private Pair<MathMLTree, MathMLTree> top(MathMLTree t1, MathMLTree
561 t2) {
562
563     // если названия t1 и t2 не совпадают изначально
564     if(!t1.getLabel().equals(t2.getLabel())) {
565         System.err.println("Имена не совпали!");
566         return null;
567     }
568
569     // если они уксе руты
570     if(t1.isRoot() || t2.isRoot()) {
571         return new Pair(t1, t2);
572     }
573
574     String pT1 = ((MathMLTree)t1.getParent()).getLabel();
575     String pT2 = ((MathMLTree)t2.getParent()).getLabel();
576
577     // если совпадают имена предыдущего узла и порядок среди братьев
578     // и у систер
579     if(pT1.equals(pT2))
580         if(t1.getSiblingNumber() == t2.getSiblingNumber())
581             return new Pair((MathMLTree)t1.getParent(),
582                             (MathMLTree)t2.getParent());
583
584
585     return new Pair(t1, t2);
586 }
587
588
589 private boolean containsIdenticalInCorpusTreeNodes(List<IdxNode<
590         String>> idxNodelist,
591         IdxNode<String> CN) {
592
593     for(IdxNode<String> idxNode : idxNodelist)
594         if(idxNode.equals(CN))
595             return true;
596
597     return false;

```

```

594     }
595
596
597     private String getIndexTableStringView(List<PRwithIdxNodes<String>>
598                                         idxTbl) {
599
600         StringBuilder sb = new StringBuilder();
601
602         for(PRwithIdxNodes<String> cIdx : idxTbl)
603             sb.append(cIdx.getStringView()).append("\n");
604
605         return sb.toString();
606     }
607
608     private String getCorpusIndexTableStringView() {
609         return getIndexTableStringView(this.corpusIdxTable);
610     }
611
612     private String getQueryIndexTableStringView() {
613         return getIndexTableStringView(this.queryIdxTable);
614     }
615
616     public void printCorpusIndexTable() {
617
618         StringBuilder sb = new StringBuilder();
619         sb.append(this.getCorpusIndexTableStringView());
620         append("PR count: ").append(corpusIdxTable.size());
621
622         System.out.println(sb.toString());
623     }
624
625     public void printQueryIndexTable() {
626         StringBuilder sb = new StringBuilder();
627         sb.append(this.getQueryIndexTableStringView());
628         append("PR count: ").append(queryIdxTable.size());
629
630         System.out.println(sb.toString());
631     }
632
633
634
635     public int getNumberOfCommonNodesByNumCorpTree(int num) {
636
637         for(Sto sto: StoList)
638             if(sto.tr2.getTreeID() == num)
639                 return sto.numberCommonNodes();
640
641
642             System.out.println("Схожести с деревом T" + num + " не встретил
643             ось");
644             return 0;
645     }
646
647 }
```

Листинг А.2. Исходный код класса IdxNode

```
1 package entities;
2
3 import additional.ConsoleStrings;
4 import java.util.Objects;
5
6
7 public class IdxNode<T> {
8
9     private final T label;
10
11    // идентификатор дерева, в котором находится этот узел
12    private final int treeID;
13
14    // каким по счету этот узел встретился в дереве
15    private final int repeatID;
16
17    // сколько листьев у поддерева, начинавшегося с этого узла
18    private final int leavesCount;
19
20    // позиция в дереве с индексом treeID (в ширину)
21    private final int breadthPosInTree;
22
23    // те элементы, которые будут учитываться при сравнении и выводе на
24    // экран
25    public static enum Content {
26        label,
27        label_repeatID,
28        label_treeID_repeatID,
29        label_treeID_repeatID_leavesCount,
30        label_treeID_repeatID_leavesCount_breadthPosInTree,
31        label_leavesCount;
32    }
33
34    public IdxNode(T label, int treeID, int repeatID, int leavesCount,
35                   int breadthPosInTree) {
36        this.label = label;
37        this.treeID = treeID;
38        this.repeatID = repeatID;
39        this.leavesCount = leavesCount;
40        this.breadthPosInTree = breadthPosInTree;
41    }
42
43    public IdxNode(MathMLTree node) {
44
45        this.label = (T) node.getLabel();
46
47        if(!node.isRoot())
48            this.treeID = ((MathMLTree)node.getRoot()).getTreeID();
49        else
50            this.treeID = node.getTreeID();
51
52        if(node.isLeaf())
53            this.leavesCount = 0;
54        else
55            this.leavesCount = node.getLeafCount();
```

```

55
56
57     this.repeatID = node.getLabelIdxTime();
58     this.breadthPosInTree = node.getNodeBreadthOrder();
59 }
60
61 public IdxNode(IdxNode idxNode, int offsetBreadthOrder) {
62     this.label = (T) idxNode.getLabel();
63     this.treeID = idxNode.getTreeID();
64     this.leavesCount = idxNode.getLeavesCount();
65     this.repeatID = idxNode.repeatID;
66     this.breadthPosInTree = idxNode.getBreadthPosInTree() +
67         offsetBreadthOrder;
68 }
69
70 public T getLabel() {
71     return this.label;
72 }
73
74 public int getTreeID() {
75     return this.treeID;
76 }
77
78 public int getRepeatID() {
79     return this.repeatID;
80 }
81
82 public int getLeavesCount() {
83     return this.leavesCount;
84 }
85
86 public int getBreadthPosInTree() {
87     return this.breadthPosInTree;
88 }
89
90 // узлы равны, если (все совпадают)
91 @Override
92 public boolean equals(Object obj) {
93
94     if(obj == this)
95         return true;
96
97     if(obj == null)
98         return false;
99
100    if (obj instanceof IdxNode<?>)
101        if(((IdxNode<?>)obj).label.equals(this.label) &&
102            ((IdxNode<?>)obj).leavesCount == this.leavesCount
103            &&
104            ((IdxNode<?>)obj).repeatID == this.repeatID &&
105            ((IdxNode<?>)obj).treeID == this.treeID &&
106            ((IdxNode<?>)obj).breadthPosInTree == this.
107                breadthPosInTree)
108        return true;
109
110    return false;
111 }
```

```

110 public boolean equals(Content content, Object obj) {
111     if(obj == this)
112         return true;
113
114     if(obj == null)
115         return false;
116
117     if (obj instanceof IIdxNode<?>)
118         switch(content) {
119             case label:
120                 if(((IIdxNode<?>)obj).label.equals(this.label))
121                     return true;
122
123             case label_treeID_repeatID:
124                 if(((IIdxNode<?>)obj).label.equals(this.label) &&
125                     ((IIdxNode<?>)obj).treeID == this.treeID &&
126                     ((IIdxNode<?>)obj).repeatID == this.repeatID)
127                     return true;
128
129             case label_treeID_repeatID_leavesCount:
130                 if(((IIdxNode<?>)obj).label.equals(this.label) &&
131                     ((IIdxNode<?>)obj).treeID == this.treeID &&
132                     ((IIdxNode<?>)obj).repeatID == this.repeatID &&
133                     ((IIdxNode<?>)obj).leavesCount == this.leavesCount)
134                     return true;
135
136             case label_leavesCount:
137                 if(((IIdxNode<?>)obj).label.equals(this.label) &&
138                     ((IIdxNode<?>)obj).leavesCount == this.leavesCount)
139                     return true;
140
141         }
142
143     return false;
144 }
145
146
147
148
149
150 // param - inColor -> выводить в цвете или нет
151 public String getStringView(Content viewstyle, boolean isInColor) {
152     StringBuilder sb = new StringBuilder();
153
154     if(isInColor)
155         switch(this.treeID % 4) {
156             case 1:
157                 sb.append(ConsoleStrings.ANSI_RED);
158                 break;
159             case 2:
160                 sb.append(ConsoleStrings.ANSI_BLUE);
161                 break;
162             case 3:
163                 sb.append(ConsoleStrings.ANSI_PURPLE);
164                 break;
165             default:
166                 sb.append(ConsoleStrings.ANSI_BLACK);
167         }

```

```

168
169
170     sb.append(this.label.toString());
171
172     switch(viewstyle) {
173
174         case label_repeatID:
175             sb.append(ConsoleStrings.LOWIDX).append(this.repeatID);
176             break;
177
178         case label_treeID_repeatID:
179             sb.append(ConsoleStrings.UPPERIDX).append(this.treeID);
180             break;
181
182
183         case label_treeID_repeatID_leavesCount:
184             sb.append(ConsoleStrings.SPACE).
185             append("(").append(this.leavesCount).append(")");
186             break;
187
188
189         case label_treeID_repeatID_leavesCount_breadthPosInTree:
190             sb.append(ConsoleStrings.SPACE).
191             append("(").append(this.leavesCount).append(")").append(
192                 (" (pos:").
193                 append(this.breadthPosInTree).append(")");
194
195         if(isInColor)
196             sb.append(ConsoleStrings.ANSI_RESET);
197
198         return sb.toString();
199     }
200
201     public void print(Content viewStyle, boolean isInColor) {
202         System.out.println(getStringView(viewStyle, isInColor));
203     }
204
205     @Override
206     public int hashCode() {
207         int hash = 3;
208         hash = 83 * hash + Objects.hashCode(this.label);
209         return hash;
210     }
211 }
```

Листинг А.3. Исходный код класса MathExpression

```

1 package entities;
2
3 import GUI.ResultFrame;
4 import java.io.File;
5 import java.io.FileReader;
6 import java.io.IOException;
7 import java.util.Scanner;
8 import java.util.logging.Level;
9 import java.util.logging.Logger;
```

```

10 | import net.sourceforge.jeuclid.DOMBuilder;
11 | import net.sourceforge.jeuclid.MathMLParserSupport;
12 | import net.sourceforge.jeuclid.app.mathviewer.Messages;
13 | import net.sourceforge.jeuclid.layout.LayoutableDocument;
14 | import net.sourceforge.jeuclid.layout.LayoutableNode;
15 | import net.sourceforge.jeuclid.swing.JMathComponent;
16 | import org.w3c.dom.Document;
17 | import org.w3c.dom.Node;
18 | import org.xml.sax.SAXException;
19 | import org.apache.commons.logging.Log;
20 | import org.apache.commons.logging.LogFactory;
21 |
22 |
23 |
24 public class MathExpression {
25
26     // для отображения выражения в swing
27     private final JMathComponent jMathComponent;
28
29     // структурное дерево
30     private final MathMLTree mathMLTree;
31
32     // название файла / ресурса, откуда получено выражение
33     public final String fileName;
34
35
36     public MathExpression(String path, String fileName) throws
37         SAXException, IOException {
38
39         File f = new File(path, fileName);
40         Document domDocument = MathMLParserSupport.parseFile(f);
41
42         this.fileName = f.getName();
43         this.jMathComponent = new JMathComponent();
44         this.jMathComponent.setDocument(domDocument);
45         this.mathMLTree = MathMLTree.fromNode(domDocument.
46             getDocumentElement());
47
48         this.mathMLTree.normalizeTree();
49     }
50
51     public MathExpression(File f) throws SAXException, IOException {
52
53         Document domDocument = MathMLParserSupport.parseFile(f);
54
55         this.fileName = f.getName();
56         this.jMathComponent = new JMathComponent();
57         this.jMathComponent.setDocument(domDocument);
58         this.mathMLTree = MathMLTree.fromNode(domDocument.
59             getDocumentElement());
60
61         this.mathMLTree.normalizeTree();
62     }
63
64     public JMathComponent getJMathComponent() {
65         return this.jMathComponent;
66     }

```

```
65     public void printTreeStructure() {
66         mathMLTree.prettyPrint();
67     }
68
69
70     public MathMLTree getMathMLTree() {
71         return mathMLTree;
72     }
73
74
75 }
```

Листинг А.4. Исходный код класса MathMLTree

```
1 package entities;
2
3 import additional.FormatUtilities;
4 import additional.ConsoleStrings;
5 import additional.Pair;
6 import java.util.ArrayList;
7 import java.util.Enumeration;
8 import java.util.LinkedHashMap;
9 import java.util.List;
10 import java.util.Map;
11 import java.util.Vector;
12 import javax.swing.tree.DefaultMutableTreeNode;
13 import javax.swing.tree.TreeNode;
14 import org.w3c.dom.Node;
15 import org.w3c.dom.NodeList;
16
17
18
19 public class MathMLTree extends DefaultMutableTreeNode {
20
21     private String label;
22     private int treeID;
23
24
25     public static MathMLTree fromMathMLTree(MathMLTree trueTree) {
26
27         MathMLTree clonedTree = new MathMLTree(trueTree.getLabel(),
28                                         trueTree.getTreeID());
29
30         for(Enumeration e = trueTree.children(); e.hasMoreElements();)
31         {
32             MathMLTree sibling = (MathMLTree)e.nextElement();
33             clonedTree.add(fromMathMLTree(sibling));
34         }
35
36         return clonedTree;
37     }
38
39     public MathMLTree(String label, int treeID) {
40         this.label = null;
41         this.treeID = -1;
42         this.label = label;
43         this.treeID = treeID;
44     }
45 }
```

```

42     }
43
44     public static MathMLTree fromNode(Node node) {
45
46         int treeID = -1;
47
48         if(MathMLPresentationMarkupElement.contains(node.getNodeName()))
49             {
50                 MathMLTree tree = new MathMLTree(node.getNodeName(), treeID
51                     );
52                 if(MathMLPresentationMarkupElement.isToken(node.getNodeName()
53                     ()))
54                     tree.add(new MathMLTree(node.getTextContent(), treeID))
55                     ;
56
57                 NodeList childs = node.getChildNodes();
58                 for (int i = 0; i < childs.getLength(); i++)
59                     if(childs.item(i).getNodeType() == Node.ELEMENT_NODE)
60                         tree.add(fromNode(childs.item(i)));
61
62             return tree;
63         }
64
65         return null;
66     }
67
68
69     public void setTreeID(int treeID) {
70         this.treeID = treeID;
71     }
72
73     public int getTreeID() {
74         return treeID;
75     }
76
77     public void normalizeTree() {
78         for(TreeNode node : getLeaves())
79             MathMLTree prnt = (MathMLTree) node.getParent();
80
81             if(prnt.getLabel().equals("mi")) {
82                 String name = ((MathMLTree)node).getLabel();
83                 switch(name) {
84                     case "sin":
85                         ((MathMLTree)node).setLabel("TRIGF");
86                         break;
87                     case "cos":
88                         ((MathMLTree)node).setLabel("TRIGF");
89                         break;
90                     case "tan":
91                         ((MathMLTree)node).setLabel("TRIGF");
92                         break;
93                     case "cot":
94                         ((MathMLTree)node).setLabel("TRIGF");
95                         break;
96                     default:
97                         ((MathMLTree)node).setLabel("VARNAME");
98                 }
99             }
100        }

```

```

96
97     if(prnt.getLabel().equals("mo")) {
98         String name = ((MathMLTree)node).getLabel();
99         switch(name) {
100             case "+":
101                 ((MathMLTree)node).setLabel("PLUSMINUS");
102                 break;
103             case "-":
104                 ((MathMLTree)node).setLabel("PLUSMINUS");
105                 break;
106         }
107     }
108
109     if(prnt.getLabel().equals("mn"))
110         ((MathMLTree)node).setLabel("NUMVAL");
111     }
112 }
113
114
115     public void setLabel(String label) {
116         this.label = label;
117     }
118
119 // какой по счету среди своих родственных узлов считая слева направо
120 // счет начинается с единицы
121     public int getsiblingsNumber() {
122
123         int k = 1;
124         DefaultMutableTreeNode prevNode;
125
126         if(getPreviousSibling() != null) {
127             prevNode = this.getPreviousSibling();
128             k++;
129
130             while(prevNode.getPreviousSibling() != null) {
131                 prevNode = prevNode.getPreviousSibling();
132                 k++;
133             }
134         }
135
136         this.getSiblingCount();
137         return k;
138     }
139
140
141     public List<Pair<String, Integer>> getPostOrderLabeledPathToRoot()
142     {
143
144         List<Pair<String, Integer>> path = new ArrayList<>();
145
146         MathMLTree tr = this;
147
148         path.add(new Pair(tr.label, tr.getsiblingsNumber()));
149
150         while(!tr.isRoot()) {
151             tr = (MathMLTree)tr.getParent();

```

```

152         path.add(new Pair(tr.getLabel(), tr.getsiblingsNumber()));
153     }
154
155     return path;
156 }
157
158
159
160
161 // какой это узел по счету таким названием при проходе в ширину от
162 // корня дерева
163 /*
164 Алгоритм нахождения номера узла и повторялся ли он:
165 1. Сохраняем путь до корня
166 2. От корня дерева начинаем искать (в ширину) элемент с тем же
167 // названием.
168 3. Когда находим – сверяем пути до корня
169 // если совпали -> сохраняем номер узла, repeat = 1
170 // если не совпали -> repeat++, ищем дальше
171 */
172 public int getLabelIdxTime() {
173     int repeat = 0;
174     List path = this.getPostOrderLabeledPathToRoot();
175     MathMLTree root = (MathMLTree)this.getRoot();
176
177
178     for (Enumeration e = root.breadthFirstEnumeration(); e.
179         hasMoreElements();) {
180         MathMLTree node = (MathMLTree)e.nextElement();
181         if(node.getLabel().equals(this.label))
182             if(path.equals(node.getPostOrderLabeledPathToRoot()))
183                 break;
184             else
185                 repeat++;
186     }
187
188     return ++repeat;
189 }
190
191 // какой элемент по счету при проходе в ширину
192 // связан по логике с getLabelIdxTime()
193 public int getNodeBreadthOrder() {
194
195     int order = 0;
196     List path = this.getPostOrderLabeledPathToRoot();
197     MathMLTree root = (MathMLTree)this.getRoot();
198
199     for (Enumeration e = root.breadthFirstEnumeration(); e.
200         hasMoreElements();) {
201         MathMLTree node = (MathMLTree)e.nextElement();
202         order++;
203         if(node.getLabel().equals(this.label))
204             if(path.equals(node.getPostOrderLabeledPathToRoot()))
205                 break;
206     }

```

```

207         return order;
208     }
209
210     public void setTreeIDSameForAllTree(int trID) {
211
212         MathMLTree tr = this;
213
214         while(!tr.isRoot())
215             tr = (MathMLTree)tr.getParent();
216
217         for (Enumeration e = breadthFirstEnumeration(); e.
218             hasMoreElements();) {
219             MathMLTree t = (MathMLTree) e.nextElement();
220             t.setTreeID(trID);
221         }
222     }
223
224     // дочерние узлы также наследуют treeID
225     public static MathMLTree fromString(String s) {
226
227         int treeID = FormatUtilities.getTreeID(s);
228
229         s = s.substring(s.indexOf("{"), s.lastIndexOf("}") + 1);
230         MathMLTree node = new MathMLTree(FormatUtilities.getRoot(s),
231                                         treeID);
232
233         Vector c = FormatUtilities.getChildren(s);
234         for(int i = 0; i < c.size(); i++)
235             node.add(fromString((String)c.elementAt(i)));
236
237         return node;
238     }
239
240     public int getNodeCount(){
241         int sum = 1;
242         for(Enumeration e = children(); e.hasMoreElements();)
243             sum += ((MathMLTree)e.nextElement()).getNodeCount();
244
245         return sum;
246     }
247
248     public String getStringView(boolean showTreeID) {
249
250         StringBuilder sb = new StringBuilder();
251
252         for(int i = 0; i < getLevel(); i++)
253             sb.append(ConsoleStrings.TAB);
254
255
256         if(showTreeID)
257             sb.append("trID: ").append(this.treeID).append("\n");
258
259         if(!isRoot())
260             sb.append(ConsoleStrings.BRANCH);
261         else
262

```

```

263         sb.append(ConsoleStrings.ROOT);
264
265
266         sb.append(ConsoleStrings.SPACE).
267             append(ConsoleStrings.LEFTQUOTES).
268             append(this.label).
269             append(ConsoleStrings.RIGHTQUOTES).append("\n");
270
271         for(Enumeration e = children(); e.hasMoreElements();)
272             sb.append(((MathMLTree)e.nextElement()).getStringView(
273                         false));
274
275         return sb.toString();
276     }
277
278     public void print(boolean printTreeID) {
279         System.out.println(getStringView(printTreeID));
280     }
281
282     public void prettyPrint() {
283         for(int i = 0; i < getLevel(); i++)
284             System.out.print(ConsoleStrings.TAB);
285
286         if(!isRoot())
287             System.out.print(ConsoleStrings.BRANCH);
288         else {
289             System.out.println("trID: " + this.treeID);
290             System.out.print(ConsoleStrings.ROOT);
291         }
292
293         System.out.print((new StringBuilder(" ")).append(label).append
294                         ("'").toString());
295         System.out.println();
296
297         for(Enumeration e = children(); e.hasMoreElements();
298             ((MathMLTree)e.nextElement()).prettyPrint());
299     }
300
301     public String getLabel() {
302         return this.label;
303     }
304
305     public Vector<TreeNode> getLeaves() {
306
307         Vector<TreeNode> leaves = new Vector<>();
308
309
310         TreeNode node;
311         Enumeration enum_ = breadthFirstEnumeration(); // order matters
312             not
313
314         while (enum_.hasMoreElements()) {
315             node = (TreeNode)enum_.nextElement();
316             if (node.isLeaf())
317                 leaves.add(node);
318         }

```

```

318     return leaves;
319 }
320
321
322     public TreeNode getNodeByBreadthOrderIndex(int n) {
323
324         int order = 0;
325         for (Enumeration e = breadthFirstEnumeration(); e.
326             hasMoreElements();) {
327             MathMLTree t = (MathMLTree) e.nextElement();
328             if (++order == n)
329                 return t;
330         }
331
332         return null;
333     }
334
335 }
```

Листинг А.5. Исходный код класса ProductionRule

```

1 package entities;
2
3 import additional.ConsoleStrings;
4 import static entities.MathMLTree.fromNode;
5 import java.util.ArrayList;
6 import java.util.Collection;
7 import java.util.Collections;
8 import java.util.Enumeration;
9 import java.util.List;
10 import java.util.Objects;
11 import javax.swing.tree.TreeNode;
12 import org.w3c.dom.Node;
13 import org.w3c.dom.NodeList;
14
15
16 public final class ProductionRule<T> {
17
18     private final T topNode;
19     private final List<T> children;
20
21
22     public ProductionRule(T topNode, List<T> children) {
23         this.topNode = topNode;
24
25         if(children == null)
26             this.children = new ArrayList<>();
27         else
28             this.children = children;
29     }
30
31     public ProductionRule(TreeNode node) {
32         // T -> String
33
34         this.topNode = (T) ((MathMLTree)node).getLabel();
35         this.children = new ArrayList<>();
```

```

36
37     for(Enumeration e = node.children(); e.hasMoreElements();) {
38         this.children.add((T) ((MathMLTree)e.nextElement()).
39                         getLabel());
40     }
41
42     public List<T> getChildren() {
43         return Collections.unmodifiableList(this.children);
44     }
45
46     public T getTopNode() {
47         return this.topNode;
48     }
49
50     public String getStringView() {
51         StringBuilder sb = new StringBuilder();
52
53         sb.append(ConsoleStrings.LEFTQUOTES).
54             append(topNode.toString()).
55             append(ConsoleStrings.RIGHTQUOTES);
56
57         if(!children.isEmpty()) {
58
59             sb.append(ConsoleStrings.PR);
60             for (T child : children)
61                 sb.append(ConsoleStrings.SPACE).
62                     append(ConsoleStrings.LEFTQUOTES).
63                     append(child.toString()).
64                     append(ConsoleStrings.RIGHTQUOTES);
65         }
66
67         return sb.toString();
68     }
69
70     public void print() {
71         System.out.println(getStringView());
72     }
73
74     @Override
75     public boolean equals(Object obj) {
76
77         if(obj == this)
78             return true;
79
80         if(obj == null)
81             return false;
82
83         if (obj instanceof ProductionRule<?>)
84             if(((ProductionRule<?>)obj).topNode.equals(this.topNode) &&
85                 ((ProductionRule<?>)obj).children.equals(this.
86                     children))
87                 return true;
88
89         return false;
90     }
91
92     @Override

```

```

92     public int hashCode() {
93         int hash = 7;
94         hash = 31 * hash + Objects.hashCode(this.topNode);
95         hash = 31 * hash + Objects.hashCode(this.children);
96         return hash;
97     }
98 }

```

Листинг А.6. Исходный код класса PRwithIdxNodes

```

1 package entities;
2
3 import additional.ConsoleStrings;
4 import java.util.ArrayList;
5 import java.util.List;
6
7
8 public class PRwithIdxNodes<T> {
9
10    private final ProductionRule<T> PR;
11    private List<IdxNode<T>> idxNodes;
12
13
14    public PRwithIdxNodes(ProductionRule<T> PR) {
15        this.PR = PR;
16        this.idxNodes = new ArrayList<>();
17    }
18
19    public void add_topCorpusTreeNode(IdxNode<T> node) {
20        this.idxNodes.add(node);
21    }
22
23    public String getStringView() {
24        StringBuilder sb = new StringBuilder();
25
26        sb.append(PR.getStringView());
27
28        if(!idxNodes.isEmpty()) {
29            sb.append(ConsoleStrings.DSPACE).
30                append(ConsoleStrings.PR_TOPNODES_DELIMITER).append(
31                    ConsoleStrings.DSPACE);
32            for(IdxNode<T> node : idxNodes)
33                sb.append(node.getStringView(IdxNode.Content.
34                    label_treeID_repeatID_leavesCount_breadthPosInTree
35                    ,true)).
36                    append(ConsoleStrings.DSPACE);
37        }
38
39        return sb.toString();
40    }
41
42    public void print() {
43        System.out.println(getStringView());
44    }
45
46    public ProductionRule<T> getPR() {

```

```

44         return this.PR;
45     }
46
47     public List<IdxNode<T>> getIdxNodes() {
48         return this.idxNodes;
49     }
50 }

```

Листинг А.7. Исходный код класса Sto

```

1 package entities;
2
3 import java.text.DecimalFormat;
4
5
6 public class Sto {
7
8     public static enum Type {
9         SUBEXPRESSION,
10        STRUCTURAL,
11        IRREGULAR;
12    }
13
14    public final Type type;
15    public final MathMLTree tr1;
16    public final MathMLTree tr2;
17    public final MathMLTree commonPart;
18
19    // additional information
20    private final IIdxNode<String> overlayIdxNode1;
21    private final IIdxNode<String> overlayIdxNode2;
22    private final double numberCommonNodes;
23    private final double numberAllNodes;
24
25
26
27    public Sto(Type type,
28        MathMLTree tr1, IIdxNode<String> overlayIdxNode1,
29        MathMLTree tr2, IIdxNode<String> overlayIdxNode2,
30        int overlapCount) {
31
32        this.type = type;
33        this.tr1 = tr1;
34        this.tr2 = tr2;
35        this.commonPart = null;
36
37        // additional
38
39        this.overlayIdxNode1 = overlayIdxNode1;
40        this.overlayIdxNode2 = overlayIdxNode2;
41        switch(type) {
42            case SUBEXPRESSION:
43                this.numberCommonNodes = overlapCount * 2;
44                break;
45            default:
46                this.numberCommonNodes = overlapCount * 2;
47

```

```

48     }
49
50     this.numberAllNodes = tr1.getNodeCount() + tr2.getNodeCount();
51 }
52
53 public Sto(Type type, MathMLTree tr1, MathMLTree tr2) {
54
55     this.type = type;
56     this.tr1 = tr1;
57     this.tr2 = tr2;
58     this.commonPart = null;
59
60     // additional
61     this.overlayIdxNode1 = null;
62     this.overlayIdxNode2 = null;
63     this.numberCommonNodes = 0;
64     this.numberAllNodes = tr1.getNodeCount() + tr2.getNodeCount();
65 }
66
67
68 public String simValueString() {
69     DecimalFormat formatter = new DecimalFormat("#0.000");
70
71     return formatter.format(this.simValue());
72 }
73
74 public String simNodesString() {
75
76     return ((int)numberCommonNodes + " / " + (int)numberAllNodes);
77 }
78
79 public double simValue() {
80     double Sim = numberCommonNodes / numberAllNodes;
81     return Sim;
82 }
83
84 public int numberCommonNodes() {
85     return (int) this.numberCommonNodes;
86 }
87
88
89 public static enum ViewStyle {
90     OVERLAYNODES,
91     COMMONTREEPART;
92 }
93
94 public String getStringView(ViewStyle style) {
95
96     StringBuilder sb = new StringBuilder();
97
98     switch(style) {
99         case OVERLAYNODES:
100             sb.append("Sto(T").
101                 append(tr1.getTreeID()).append(",T").
102                 append(tr2.getTreeID()).append(") = ").
103                 append(simNodesString());
104
105

```

```

106         if (overlayIdxNode1 != null && overlayIdxNode2 != null
107             && type == Type.SUBEXPRESSION)
108             sb.append(" (").append(overlayIdxNode1.getStringView(
109                 (IdxNode.Content.label, true)).append(","),
110                 append(overlayIdxNode2.getStringView(IdxNode.Content
111                     .label, true)).append(")");
112             break;
113     }
114
115     return sb.toString();
116 }
117
118 public void print(ViewStyle style) {
119     System.out.println(getStringView(style));
120 }
```

Листинг А.8. Исходный код класса Pair

```

1 package additional;
2
3 import java.util.Objects;
4
5 public class Pair<N, M> {
6     public final N n;
7     public final M m;
8
9     public Pair(N n, M m) {
10         this.n= n;
11         this.m= m;
12     }
13
14     @Override
15     public boolean equals(Object obj) {
16
17         if(obj == this)
18             return true;
19
20         if(obj == null)
21             return false;
22
23         if (obj instanceof Pair<?,?>)
24             if(n.equals(((Pair<?,?>)obj).n) && m.equals(((Pair<?,?>)obj
25                         ).m))
26                 return true;
27
28         return false;
29     }
30
31     @Override
32     public int hashCode() {
33         int hash = 5;
34         hash = 89 * hash + Objects.hashCode(this.n);
35         hash = 89 * hash + Objects.hashCode(this.m);
36         return hash;
37     }
38 }
```

```
36 }  
37 }
```

Листинг A.9. Исходный код класса ConsoleStrings

```
1 package additional;  
2  
3 public final class ConsoleStrings {  
4     public static final String SPACE = " ";  
5     public static final String DSPACE = "  ";  
6     public static final String TAB = "      ";  
7  
8     public static final String ROOT = "*---+";  
9     public static final String BRANCH = "+---+";  
10    public static final String PR = "->";  
11  
12    public static final String UPPERIDX = "^";  
13    public static final String LOWIDX = "_";  
14  
15    public static final String ELEMENT_DELIMITER = ",";  
16    public static final String PR_TOPNODES_DELIMITER = ":";  
17  
18    public static final String LEFTQUOTES = "\"";  
19    public static final String RIGHTQUOTES = "\"";  
20  
21    public static final String ANSI_RESET = "\u001B[0m";  
22    public static final String ANSI_BLACK = "\u001B[30m";  
23    public static final String ANSI_RED = "\u001B[31m";  
24    public static final String ANSI_GREEN = "\u001B[32m";  
25    public static final String ANSI_YELLOW = "\u001B[33m";  
26    public static final String ANSI_BLUE = "\u001B[34m";  
27    public static final String ANSI_PURPLE = "\u001B[35m";  
28    public static final String ANSI_CYAN = "\u001B[36m";  
29    public static final String ANSI_WHITE = "\u001B[37m";  
30}
```